UNIVERSIDAD NACIONAL AUTONOMA DE MEXICO

FACULTAD DE CIENCIAS

FOCK EN SISTEMAS DE FERMIONES CON INTERACCIONES REPULSIVAS

TESIS

Que para obtener el titulo de

FISICO

presenta

MARCELA D. GRETHER GONZALEZ

México, D.F.

1977





UNAM – Dirección General de Bibliotecas Tesis Digitales Restricciones de uso

DERECHOS RESERVADOS © PROHIBIDA SU REPRODUCCIÓN TOTAL O PARCIAL

Todo el material contenido en esta tesis esta protegido por la Ley Federal del Derecho de Autor (LFDA) de los Estados Unidos Mexicanos (México).

El uso de imágenes, fragmentos de videos, y demás material que sea objeto de protección de los derechos de autor, será exclusivamente para fines educativos e informativos y deberá citar la fuente donde la obtuvo mencionando el autor o autores. Cualquier uso distinto como el lucro, reproducción, edición o modificación, será perseguido y sancionado por el respectivo titular de los Derechos de Autor.

UNIVERSIDAD NACIONAL AUTONOMA DE MEXICO

FACULTAD DE CIENCIAS

SOLUCIONES NO TRIVIALES A LAS ECUACIONES DE HARTREE-FOCK EN SISTEMAS DE FERMIONES CON INTERACCIONES RE-PULSIVAS

TESIS

Que para obtener el titulo de

FI SI CO

n resenta

MARCELA D. GRETHER GONZALEZ

México, D.F.

1977

Mi agradecimiento al Dr. Rubén Barrera Pérez por su especial interés en la di rección de este trabajo, durante el cual me ha dejado sentir su gran calidad de maestro y amigo. Doy las gracias tambien al Dr. Manuel de Ilano de la — Garza por su muy valiosa colaboración.

Quedo en deuda con Salvador Bermúdez a Graef por la realización del los trabajos de computación, así como al Depto. de Computación del I.N.E.N. por facilitar los programas del paquete "PLOT" — de Harold V. Mc. Intosh 1975.

A todos los miembros del Departamento de Estado Sólido por el apoyo prestado, les quedo igualmente agradecida.

SOLUCIONES NO TRIVIALES A LAS ECUECIONES

DE HARTREE-FOCK EN SISTEMAS DE FERMIONES

CON INTERACCIONES REPULSIVAS

Military services The Control of the	
	Introducción 1
	아이들이 하면 그는 그는 이 가장 아이들이 이렇게 되었다. 그는 사람들은 사람들은 사람들은 사람들이 되었다.
	Capítulo I HARTREE-FOCK CON ONDAS PLANAS: EL PLASMA SIMPLE
	I.l Aproximación de Hartree-Fock3
	I.2 Modelo de jalea9
	보는 사람들이 되었다. 그는 사람들이 되었다. 그는 사람들이 하는 것이 되었다. 그는 것은 사람들이 되었다. 보는 사람들이 되었다. 그는 사람들이 되었다. 그는 사람들이 되었다. 그는 것은 사람들이 되었다.
	I.3 Sólido de Wigner15
	이렇는 얼마네. 그 집에는 사람들은 사람들은 사람들에 대한 사람들이 되었다.
	Capítulo II ORBITALES HARTREE-FOCK NO TRIVIALES
	II.1 Solución tipo Overhauser17
	II.2 Función de correlación de pa-
	res para la "solución tipo lá-
	mina corrugada"21
	II.3 Otro tipo de soluciones23
	Capitulo III ORBITALES HARTREE-FOCK NO TRIVIALES CON ORDENAMIENTO DE ESPINES.
	III.1 Familia I26
	TIT 2 Familia II
	Apéndice I
	이름이 있는 것이 되어 있다. 그는 그 사람들이 되었다는 것이 없는 것이 없는 일이 하는 것이 되었다. 그 것이 되었다면 하는 것이 되었다면 하는 것이 없는
	마음 발표 교통을 하고 있다고 있는 사람은 회교이는 그 그리고 마이를 당한 경험이 있는 말씀한 경험을 하는데 대한 대한 경험 회사에 있는 것으로 되었는데 하는데 사람들은 사람들을 하는데 얼굴하는데 되었다.
	가진은 바로 가는 돼? 영화를 되는 이 근 하는데 이번 말까지 않아 보였다.

Apendice	11	• • • • •	• • • • •	• 44
		ingana mili	ing the state of t	a gran i grantstangeta
Apéndice	III			.46
en aprilon de l'est La la companyation de	jan ja saatsi. Birangan ahaas			
Anémaiaa	Ttr			56

INRTODUCCION

El estudio de un sistema de fermiones con interacciones repulsivas ha sido util para entender las propiedades de los metales. El modelo que se ha tomado en tal que, el potencial iónico del sistema se ha sustituido por un fondo uniforme rígido de carga positiva. A este modelo se le conoce como modelo de jalez, y se ha resuelto en la aproximación de partícula independiente (aproximación de Hartree y de Hartree-Fock), se encuentra que las ecuaciónes de Hartree-Fock presentan una solución exacta en términos de ondas planas a la que se le ha llamado solución trivial.

Por otra parte, Wigner predice, por medio de un cálculo semi-clásico, la existencia de una solución con orden de largo al cance y en la cual los electrones vibran alrededor de posiciones fijas en un arreglo cristalino que resulta ser cúbico centrado en el cuerpo. A esta solución se le llama sólido de Wigner.

En el capítulo I del presente trabajo, se hace un breve resumen de la aproximación de Hartree-Fock haciendo énfasis en el problema del sistema de electrones en el modelo de jalea. Se revisa la solución trivial tanto para el caso paramagnético como para el ferromagnético y se tratan de visualizar los resultados por medio de la función de correlación de pares. Se revisa el cálculo hecho por Wigner y se sugiere la existencia de soluciones localizadas a las ecuaciones de — Hartree-Fock que nos den un estado mas estable que la solución trivial.

En el capítulo II se hace un análisis de la energía para una solución localizada a las ecuaciones matriciales de Hartree-Fock en un sistema de fermiones en el modelo de jalea. Se es tudia la función de correlación de pares para esta solución encontrando que dada la aproximación de Hartree-Fock, se va a encontrar un aumento en la energía al permitir que electrones con espín antiparalelo se puedan acercar, por lo que se proponen soluciones que nos den una estructura antiferro magnética.

En el capítulo III se calcula la energía del estado base pa ra dos familias de soluciones localizadas a las ecuaciones matriciales de Hartree-Fock tales que nos dan una estructura antiferromagnética para un sistema de fermiones con inter accion delta repulsiva. Este sistema es mas simple que el sis tema de electrones en el modelo de jalea en el cual las interacciones repulsivas son coulombianas, sin embargo, lo consideramos aquí como un primer paso para atacar el problema original. Se presenta la fórmula general para la energía del estado pase en términos de un parámetro variacional que representa la amplitud de modulación para ambas familias de 🗕 soluciones localizadas. Se hace plausible el hecho de que es te tipo de soluciones son mas estables que la solución a trivial, sin embargo, el análisis numérico de dicha estabili dad se reportará posteriormente. Se presentan además, gráficas de la densidad para distintos miembros de las familias y se analiza la densidad neta de espín en los punto donde se encuentran los máximos de la densidad encontrando como se esperaba, una estructura antiferromagnética.

CAPITULO I

INTRODUCCION. HARTREE-FOCK CON ONDAS PLANAS. EL PLASMA SIMPLE.

En este capítulo se revisa la aproximación de Hartree-Fock para un sistema de muchas particulas, y se estudian las soluciones de ondas planas a las ecuaciones de Hartree-Fock para un sistema de electrones en el modelo de jalea. Sentratan tanto el caso paramagnético como el caso ferromagnético y se intentan visualizar los resultados analizando la función de correlación de pares. Se revisa el cálculo de Wigner (1) a la energía del estado base de este mismo sistema en el límite de bajas densidades, el cual predice una transición a una fase cristalina (sólido de Wigner). Se analiza la posibilidad de predecir dicha transición de fase a través de soluciones localizadas (no triviales) a las — ecuaciones de Hartree-Fock.

I.1 APROXIMACION DE HARTREE-FOCK.

El problema de resolver un sistema de muchos cuerpos (>3) con interacción entre pares, como ya es sabido (2), presenta grandes dificultades ya que no existen soluciones exactas a la ecuación de Schrödinger $H \psi : F \psi$ con un hamiltoniano:

$$H = \frac{1}{4\pi} \left(-\frac{1}{2m} \nabla_{i}^{2} + \frac{1}{2\pi} \nabla_{i}^{2} + \frac{1}{2\pi} \nabla_{i} (\bar{\tau}_{i} - \bar{\tau}_{2}) \right) \dots (I.1)$$

donde $\frac{1}{2\pi}$ \mathbb{Z}^2 es un operador de un cuerpo que representa la energia cinética y $v(\bar{r}; -\bar{r};)$ representa la interacción entre partículas. El segundo término en (I.1) es el que no deja resolver el sistema exactamente puesto que es un operador de dos cuerpos y de aquí que $\psi(\bar{r}, \bar{r}_3, ..., \bar{r}_n)$ no se puede escribir como un producto de funciones de partícula independiente. Por tanto, el problema se ha tratado de resolver aproximadamente buscando que las soluciones contengan las características esenciales de todo el problema.

Hartree (3) propone una solución aproximada al problema - con el método de campo promedio en el cual cada partícula - del sistema tiene su propia función de onda, esto es, el problema de muchos cuerpos se reduce al de describir el movimiento de una sola partícula en el campo promedio producido por las demás. Así, el potencial promedio que siente una - partícula debido a la presencia de las demás está dado por:

$$U(\bar{\tau}_1) = \int \beta(\bar{\tau}_2) v(\bar{\tau}_2 - \bar{\tau}_1) d\bar{\tau}_2 \dots (I.2)$$
donde:
$$\beta(\bar{\tau}) = \left. \frac{1}{k_2(oc)} \right| \frac{1}{k_2} (\bar{\tau}_2) \right|^2$$

es la densidad del sistema y las $\mathcal{H}_{k_i}(\bar{\tau})$ son las funciones de onda de cada partícula. Aquí k_i representa todos los - números cuánticos necesarios para especificar el estado y - la suma corre sobre todos los estados ocupados en un produc to de N funciones de onda \mathcal{G}_o .

Así Hartree encuentra que las ecuaciones que describen al - sistema de N particulas en ésta aproximación estan dadas -- por N ecuaciones integro-diferenciales no lineales acopla--

das de la forma:

$$-\frac{\hbar^{2}}{2m}\nabla_{r}^{2}\phi_{k_{2}}(\bar{r}_{1})+\left[\frac{\xi}{\kappa_{2}(oc)}\int/\phi_{k_{3}}(\bar{r}_{2})/\partial_{r}(\bar{r}_{3}-\bar{r}_{1})J\bar{r}_{3}\right]\phi_{k_{3}}(\bar{r}_{1})=\xi_{2}\phi_{k_{3}}(\bar{r}_{1})$$

que se tienen que resolver autoconsistentemente. Esto es, no tenemos una ecuación de Schrödinger lineal ya que el potencial promedio depende de la misma función de onda; para resolverla se proponen N funciones de onda con las cuales se calcula el potencial promedio y se resuelve entonces la ecuación de Schrödinger que nos queda. Las soluciones que se obtienen se comparan con las propuestas, si difieren de ellas, se utilizan para el cálculo del potencial promedio y se vuelve a resolver la ecuación resultante; así sucesivamen te hasta que las funciones que se utilicen en el cálculo del campo promedio se aproximen tanto como se quiera a las soluciones que se obtienen de resolver las ecuaciones resultantes. Se dice entonces que las funciones de onda que se obtienen són soluciones autoconsistentes a las acuaciones de Hartree (I.3) en la aproximación deseada.

Esta es la manera intuitiva de encontrar las ecuaciones de Hartree, pero existe una manera formal de encintrar estas — ecuaciones y se hace por medio del principio variacional.

La aproximación de Hartree consiste en suponer que la función de onda del sistema, se puede escribir como un producto de funciones de una sola partícula:

$$\Phi_{K}(\vec{r}_{1},\vec{r}_{2},...,\vec{r}_{N}) = \ell_{K}(\vec{r}_{1})\ell_{K_{2}}(\vec{r}_{2})...\ell_{K_{N}}(\vec{r}_{N})....(I.4)$$

y se utiliza el principio variacional para determinar las funciones de onda $\mathcal{G}_{K's}$ que den una extremal en el sistema. Esto es necesario, pero no suficiente, para minimizar el valor esperado del hamiltoniano con respecto a las funciones de onda \mathcal{G}_{K} :

$$\frac{\int}{\int \varphi_{\kappa_{i}}(\bar{\tau}_{i})} \left[\langle \bar{\Phi} | H | \bar{\Phi} \rangle - \lambda_{i} \langle \bar{\Phi} | \bar{\Phi} \rangle \right] = 0 \dots (1.5)$$

donde $\int_{\mathcal{A}_{i}}$ significa derivada funcional y λ ; son parámetros de Lagrange; que sirven para tomar en cuenta la condicion de normalización de la función de onda, es decir $\langle \vec{p} | \vec{p} \rangle = 1$. Este procedimiento nos lleva a las ecuaciones (I.3) donde λ ; ha sido identificado con el eigenvalor ϵ ;. Así probamos que éstas ecuaciones aseguran que la energía total resultante debe de ser una extremal con respecto a todas las energías que se obtengan utilizando funciones de onda del λ tipo (I.4).

Como es bien sabido(3), la función de onda de un sistema de fermiones debe ser antisimétrica ante el intercambio de coordenadas y espines de cualquier par de particulas, sin em-bargo, la función de onda (I.4) en la aproximación de Hartree
no obedece ésta condición. Por tanto, Fock y Slater (3) pro
ponen una generalización al problema utilizando nuevamente
el principio variacional pero partiendo ahora de una fun-ción de onda antisimétrica, que escribimos en forma de un -determinante:

$$\bigoplus_{k} (\bar{\tau}_{i}, \bar{r}_{2}, \dots, \bar{\tau}_{N}) = N^{-1/2} \begin{pmatrix} \varphi_{k}(\bar{\tau}_{i}) \varphi_{k}(\bar{\tau}_{2}) & \dots & \varphi_{k}(\bar{\tau}_{N}) \\ \vdots & \vdots & \ddots & \vdots \\ \varphi_{k}(\bar{\tau}_{i}) & \dots & \varphi_{k}(\bar{\tau}_{N}) \end{pmatrix} \dots \dots (1.6)$$

Esta generalización se le conoce como la aproximación de —
Hartree-Fock la cual sí cumple con los requerimientos de si
metría del sistema.

Por medio del principio variacional, como se hace en la —aproximación de Hartree, se extremaliza el valor esperado de H con respecto a los orbitales (\bar{r}_i) usados en la función de onda determinantal. Sustituyendo (I.6) en la ecuación (I.5) obtenemos nuevamente N ecuaciónes integro-diferenciales de la forma:

$$-\frac{L^{2}}{2m}\nabla_{r}^{2}\mathcal{G}_{K_{1}}(\bar{r}_{1})+\left[\frac{2}{k_{2}(\sigma_{1})}\int\mathcal{G}_{K_{2}}(\bar{r}_{2})\right]^{2}\mathcal{V}(\bar{r}_{2}-\bar{r}_{1})d\bar{r}_{2}\left[\mathcal{G}_{K_{1}}(\bar{r}_{1})\right]$$

$$- \underbrace{\xi}_{k_{2}(oc)} \int \varphi_{k_{2}}^{*}(\bar{\tau}_{2}) v_{1}(\bar{\tau}_{2}-\bar{\tau}_{1}) \varphi_{k_{1}}(\bar{\tau}_{2}) d\bar{\tau}_{2} \varphi_{k_{2}}(\bar{\tau}_{1}) = \xi_{k_{1}}(\bar{\tau}_{1}) \varphi_{k_{1}}(\bar{\tau}_{1}) + \dots (1.7)$$

donde la suma corre sobre los estados ocupados del sistema. Estas ecuaciones se resuelven autoconsistentemente. Que un conjunto de funciones de onda sea solución autoconsistente a las ecuaciónes de Hartree-Fock es equivalente a decir que diagonalizan el hamiltoniano de Hartree-Fock, es decir, es necesario encontrar un conjunto de coluciones | Ka) que satisfagan:

Estas ecuaciones se obtienen multiplicando las ecuaciones (I.7) por $(\mathcal{C}_{k}, \mathcal{C}_{k})$ por la izquierda e integrando. A las ecuaciones (I.8) las llamaremos la forma matricial de las ecuaciones de Hartree-Fock y es este punto de vista desde donde

mamos a analizar el problema.

primer término en la ecuación (I.8) representa la enermia cinética de una partícula, el segundo término (término inrecto) representa a una partícula moviéndose en un potential promedio equivalente, debido a la presencia de las ombas partículas y es la misma interpretación que en el caso la aproximación de Hartree, el tercer término (término intercambio) es debido a que ahora se está tomando en muenta la antisimetría de la función de onda.

energía total del estado base del sistema, una vez que ce obtuvo una solución autoconsistente a las ecuaciones de
Hartree-Fock, se encuentra a partir de:

$$F_{HF} = \langle \Phi \mid H \mid \Phi \rangle$$

-. dado que $\overline{\Phi}$ es una función de onda determinantal (3), se -- ene que:

$$E_{HF} = \frac{2}{k_1(00)} \langle k_1 | -\frac{t^2}{2\pi} R^2 | k_1 \rangle + \frac{1}{2} \frac{2}{k_1 k_2(00)} \langle k_1 k_2 - k_2 k_1 \rangle \dots (I.9)$$

De acuerdo con el principio variacional, la energía que se calcula en esta aproximación, siempre va a ser mayor ó igual que la energía real del sistema, por tanto, si se encuentran varios tipos de soluciones a las ecuaciones de Har tree-Fock la solución que dé la menor energía va a ser la más cercana a la solución real.

I.2 MODELO DE JALEA.

El sistema de partículas que vamos a analizar es el de N electrones con espín total neto cero (caso paramagnético) en un fondo uniforme rígido de carga positiva, tal que el sistema sea eléctricamente neutro. A este sistema es el que — llamaremos modelo de jalea.

El hamiltoniano de este sistema está dado por la ecuación:

$$H = -\frac{1}{2m} \sum_{i=1}^{N} \frac{\nabla_{i}^{2} + \frac{1}{2\pi} \int_{z=1}^{2} d\bar{r} \frac{P_{-}(\bar{\tau}_{i})P_{+}}{|\bar{\tau}_{i} - \bar{\tau}|} + \int_{z=1}^{2} d\bar{r} \frac{P_{+}P_{+}}{|\bar{\tau}_{r} - \bar{\tau}|}$$

$$+ \underbrace{\frac{2}{1 - \bar{\tau}_{i} - \bar{\tau}_{i}}}_{i \leq 1} \frac{2}{1 - \bar{\tau}_{i} - \bar{\tau}_{i}}$$
(I.10)

Aquí, el primer término corresponde a la energía cinética, el segundo, a la interacción electrón-fondo positivo $V_{e-\rho}$, y el tercero, a la interacción fondo positivo-fondo positivo vo $V_{\rho-\rho}$, f es una constante que representa la densidad de carga del fondo positivo, f $(\bar{\tau})$ es la densidad de carga e lectrónica, y el último término es la repulsión electrón-e-lectrón.

Existe una solución exacta a las ecuaciones de Hartree-Fock en este modelo y como es ya bien conocido (3), es la solución de ondas planas (solución trivial):

$$\varphi_{\vec{k},\vec{r}}(\vec{\tau},\vec{r}_2) = V^{\prime\prime_2} e^{-i\vec{k}\cdot\vec{r}} \chi_{\vec{r}}(\vec{r}_2)$$
(I.11)

donde V es el volumen de normalización del sistema, \mathcal{L} es la función de espín y $\mathcal{L}_{\mathbf{z}}$ es la variable de espín.

En este caso, la densidad electrónica es constante ya que:

$$S(\bar{\tau}) = \frac{1}{2} \left| \frac{1}{1} \left(\frac{1}{2} \right) \right|^{2} - \frac{1}{2} \frac{1}{2} \left(\frac{1}{2} \right) = \frac{N}{V}$$
(I.12)

Para referirnos a la densidad del sistema, es conveniente — definir el parámetro r de tal manera que $\left(\frac{4}{3}\pi r_0^3\right)N=V$ donde V es el volumen total del sistema y N es el número to tal de partículas, así: $\frac{4}{3}\pi r_0^3 = \frac{V}{N} = \frac{1}{5}$ li medimos r_0 en ratidos de Bohr; $r_0 = q_0 r_0$ tenemos el parámetro adimensional r_0 que nos dá una medida de que tan denso es el sistema. Así, si $r_0 < 1$ las partículas están muy cercanas unas de otras y el sistema es muy denso, por el contrario, si $r_0 > 1$ las partículas están muy separadas y la densidad es baja. Se — encuentra que para metales empíricos $2 \lesssim r_0 \lesssim 6$.

Sustituyendo (I.11) en (I.9), la energía por partícula para este sistema, puede escribirse en términos del parámetro r_s en la forma: $(1R_V dber_J \equiv \frac{e^2}{2a_s})$

$$\frac{F}{N} = \epsilon = \left\{ \frac{2.21}{r_s^2} - \frac{0.916}{r_s} \right\} (Rydbergs) \dots (I.13)$$

El primer término es la contribución de la energía cinética al sistema y el segundo término corresponde a la energía po tencial dada por el término de intercambio. El término di-

recto se anula con los términos que corresponden a las in-teracciones $V_{P,P}$ y V_{C-P} . Como podemos ver, el sistema es casi ideal (acoplamiento débil) a altas densidades (${}^{7}_{5} <<1$) ya que es el término en la energía cinética el que domina sobre la energía potencial, mientras que a bajas densidades (${}^{7}_{5} >>1$) vamos a tener un sistema no-ideal (acoplamiento fuerte) ya que la energía potencial domina sobre la energía cinética.

En el sistema que tomamos, el conjunto de funciones es idéntico para electrones con espín arriba y con espín abajo (—sistema paramagnético), pero como se hizo notar anteriormente, ésta no es una restricción, y ahora se va a analizar el caso en el que todos los electrones con espín arriba (ó abajo) tienen un conjunto de funciones de onda idénticamente — cero, y los electrones con espín abajo (ó arriba), tienen — las soluciones de ondas planas (caso ferromagnético). La — energía por partícula para este sistema se encuentra que está dada por:

$$\frac{F_{ferro}}{N} = \epsilon_{ferro} = \left[\left(\frac{2.21}{\tau_s^2} \right) 2^{\frac{2}{3}} + \left(\frac{0.9/6}{\tau_s} \right) 2^{\frac{1}{3}} \right] \text{ Ryd} ...(I.14)$$

Como podemos notar, la energía cinética va a aumentar con respecto a la energía cinética en el caso paramagnético — puesto que ahora vamos a tener el doble de estados ocupados pero el término de intercambio va a disminuír con respecto al del caso paramagnético, por lo que tenemos que analizar para que r_s la energía ferromagnética de ondas planas, E pero va a ser menor que la energía paramagnética de ondas planas:

o sea:

$$\left(\frac{2.21}{r_s^2}\right)2^{\frac{2}{3}} - \left(\frac{0.9/6}{r_s}\right)2^{\frac{1}{3}} \angle \left(\frac{2.21}{r_s^2}\right) - \left(\frac{0.9/6}{r_s}\right)$$
 ...(I.15)

de aquí se encuentra que para $r_s > 5.45$, $\epsilon_{Para} > \epsilon_{ferro}$, y ya que $r_s > 5.45$ está dentro del rango de densidades metálicas, la aproximación de Hartree-Fock predice una transición de fase que no se observa en la naturaleza, puesto que los meta les ligeros no son ferromagnéticos. En realidad, el cálculo de la energía en la aproximación de Hartree-Fock es solo un cálculo aproximado, mientras que la energía real del sistema siempre va a ser menor que la calculada con Hartree-Fock. A la diferencia de energías $E_{HF} - E_{Real}$ le llamaremos energía de correlación y se piensa (4) que en los efectos que dan lugar a dicha energía, se encuentra la explicación del porque no aparece en la naturaleza la transición de fase que predice la aproximación de Hartree-Fock.

En un sistema real de cargas con interacción entre pares, se observa que existen dos tipos de "relación" entre ellas, una es debida a la interacción repulsiva que existe entre ellas y a la que llamaremos correlación dinámica, la cual no deja que dos partículas se acerquen, y la otra que se debe a la - antisimetría de la función de onda, a la que llamaremos co-relación estadística, la cual no deja que dos particulas - con el mismo espín se acerquen. En la aproximación de Hartree-Fock al tomar la función de onda como un producto de -

funciones de onda de una sola partícula, se está despreciando la correlación dinámica, pero sí estamos tomando en cuenta la correlación estadística debido a que se está tomando una función de onda antisimétrica.

La forma de analizar la correlación que existe en el siste ma es por medio de la función de correlación de pares que - nos dice , si tenemos una partícula en r_1 , que densidad de -- particulas existe en r_2 . La función de correlación de pares se define $(\underline{5})$ de la siguiente forma:

$$D(\bar{r}_1,\bar{r}_2) = \frac{1}{S(\bar{r}_1)} \left\{ d\bar{r}_3 d\bar{r}_4 \dots d\bar{r}_{\nu} \middle/ \bar{\Phi}(\bar{r}_1,\bar{r}_2,\dots,\bar{r}_{\nu}) \middle/^2 \dots (I.16) \right\}$$

que resulta conveniente escribir como:

$$D(\bar{r}_1, \bar{r}_2) = \frac{1}{p(\bar{r}_1)} \int d\bar{r}_1' d\bar{r}_2' d\bar{r}_3 ... d\bar{r}_N \delta(\bar{r}_1' \bar{r}_1) \delta(\bar{r}_2' \bar{r}_2) / \bar{\phi}(\bar{r}_2' \bar{r}_2) / \bar{\phi}(\bar{r}_1' \bar{r}_2) / \bar{\phi}(\bar{r}_2' \bar{r}_2)$$

donde $P(\bar{r}_i)$ es la densidad del sistema en \bar{r}_i y $\Phi(\bar{r}_i, \bar{r}_2, ..., \bar{r}_N)$ es su función de onda.

En nuestro caso, utilizamos la función de onda en la aproximación de Hartree-Fock, y así decimos que calculamos la función de correlación de pares en la aproximación de Hartree-Fock; se van a analizar los dos casos que se han estudiado - (solución de ondas planas paramagnética y ferromagnética).

La función de correlación de pares (I.16') en la aproxima-ción de Hartree-Fock, dado que la funcióna de nonda es un determinante (3), resulta ser:

que en el caso de la solución de ondas planas está dada por:

$$D(\bar{r}_1, \bar{r}_2) = P_0 \left\{ 1 - 5\rho 9 \left(\frac{sen 5 - 5 \cos 5}{53} \right) \right\} \dots (I.18)$$

donde:

Sp=
$$\begin{cases} 1/2 & \text{si tenemos un sistema paramagnético} \\ 1/2 & \text{si tenemos un sistema ferromagnético} \end{cases}$$

$$\begin{cases} 5p = \begin{cases} 1/2 & \text{si tenemos un sistema paramagnético} \\ 1/2 & \text{si tenemos un sistema ferromagnético} \end{cases}$$

Dado que el sistema es homogéneo, $\mathcal{D}(\bar{n},\bar{r_2})$ solo depende de la separación entre partículas / 7,- 73 /.

En los límites, cuando la separación es infinita:

$$lim D(\bar{r}_1, \bar{r}_2) = \begin{cases} P_0 - Paramagnético \\ P_0 - ferro magnético \\ \end{cases}$$
 (I.19)

y cuando la separación es cero:

(ver figura I).

La interpretación que podemos darle a estos resultados es cue en la aproximación de Hartree-Fock, solamente estamos to mando en cuenta la correlación estadística, por lo que en es ta aproximación, para el sistema paramagnético, los electronnes de diferente espin pueden estar en al mismo lugar lo -- cual es immosible debido a que en realidad la correlación dinámica no los deja acercarse, mientras que en el sistema ferromagnático, ya que todos los electrones tienen el mismo espín, la correlación estadística no los deja acercarse y ningun par de electrones pueden estar en el mismo lugar.

Como resultado del análisis de estos dos sistemas, encontramos que:

en donde la energía cinética ferromagnética aumenta con respecto a la energía cinética paramagnética debido, como ya se dijo, a que vemos a tener el doble de estados ocupados en el caso ferromagnético, mientras que la energía de intercambio ferromagnética es menor que la paramagnética ya que en el caso ferromagnético, ningún par de electrones pueden estar en el mismo lugar, lo que disminuye la energía potencial en el caso de interacciones repulsivas.

I. 3 SOLL NO DE WIGNER.

Por otra varte, Wigner (1) estudia el problema semiclásica—
mente superiendo que a bajas densidades (r₅>>/), el sistema
de electromes se cristaliza. El supone que cada electrón —
está rodea o por una esfera de carga positiva de radio r₀,
(r₀ = distancia promedio entre particulas) equivalente a la
carga del electrón de tal manera que el sistema electrón—
esfera de carga positiva sea eléctricamente neutro, y de —
aquí que no existe interacción con las demás esferas. La energía potancial se determina calculando el trabajo necesa—

rio para traer un electrón desde el infinito hasta el centro de la esfera de carga positiva. Por otra parte, la energía
a cinética corresponde a la energía del punto cero que se obtiene al considerar el potencial electrostático a que está sometido el electrón dentro de la esfera, el cual resulta
ser de oscilador armónico.

La energía del sistema puede escribirse como:

$$\epsilon_{50/id_0} = \left(\frac{3}{\tau_5} v_2 - \frac{1.8}{\tau_5}\right) R_{\gamma} d. \qquad \dots (1.21)$$

donde el primer término representa la energía cinética y el segundo la energía potencial.

Si graficamos las ecuaciones: (I.13) que corresponde a la energía cinética de ondas planas en la aproximación de ———Hartree-Fock,y (I.21), se tiene que a bajas densidades, la — energía del sólido de Wigner siempre es mas baja que la de ondas planas (ver gráfica II).

Los resultados que obtiene Wigner al resolver el problema - suponiendo desde el principio que a bajas densidades el sistema está en un estado cristalino, sugieren la posibilidad - de encontrar soluciónes localisadas que nos des una energía menor que la de ondas planas.

Es por este motivo que en el capítulo siguiente se analiza una nueva solución (localizada) a las ecuaciónes de Hartreex-Fock.

CAPITUIO II

ORBITALES HARTREE-FOCK NO-TRIVIALES.

En este capítulo se van a analizar soluciones no triviales a las ecuaciones de Hartree-Fock cuyas densidades nos den una cristalización en el sistema. Se analiza la función de correlación de pares para tratar de entender los resultados.

II.1 SOLUCION TIPO OVERHAUSER.

Overhauser (6) es el primero en estudiar este problema y de muestra la existencia de soluciones localizadas a las ecuaciones de Hartree-Fock en forma matricial.

Ahora vamos a trabajar con soluciones a las ecuaciones de -Hartree-Fock del tipo overhauser en un sistema de electrones en el modelo de jalea.

La función de onda que se propone está dada por:

que es una onda plana modulada por otra onda de longitud de onda $2\pi_{q}$ donde 4 y q son dos parámetros que pueden ser utilizados como parámetros variacionales, y K_{0} es el radio de $\dot{}$ la esfera de fermi que representa a todos los estados ocupados.

Se puede demostrar (ver apéndice I), que estas funciones son soluciones a las ecuaciones de Hartree-Fock (I.8) siempre y cuendo q > 2K lo que significa que diagonalizan solamen-

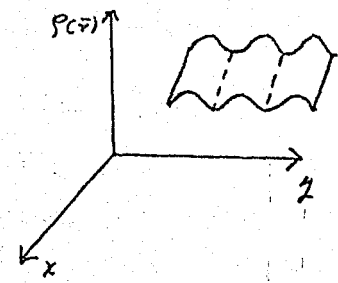
te la parte de la matriz que corresponde a los estados ocupados, ya que los elementos de matriz que obtenemos, corresponden a términos que contienen $\int_{K'_iK^i+nq}$ donde n=0,1,2,quez en el caso en que $q>2K_0$, K^i+nq nunca será igual a K_i excepto en el caso n=0 en el que tenemos $\int_{K'_iK_i}$. Así decimos que las funciones (II.1) son soluciones a las ecuaciones de Hartree-Fock en forma matricial (ecuación I.8) para $q>2K_0$, pero no resuelven las ecuaciones (I.7) que estan en forma integro-diferencial, es decir, no diagonalizan toda la matriz hamiltoniana y esto - es a lo que se llama una base - mínima.

La densidad de particulas para esta función está dada por:

donde:
$$\mathcal{J} = \frac{2/\lambda}{(1+\lambda^2)}$$

como podemos notar, existe degeneración con respecto a Θ ya que nos permite elegir el orígen que se quiera; por simplicidad en el cálculo se escoge $\Theta=o$.

La gráfica de la densidad se ve de la forma:



por lo que llamaremos a esta solución "Solución Tipo Lémina Corrugada $arphi_{LC}$ ".

Como podemos observar, la densidad en este caso no es homogénea y de aquí que la función de onda propuesta supone implícitamente una localización en el sistema y se espera que
a bajas densidades exista una transición de fase de la solu
ción de ondas planas (que como ya se dijo, es casi ideal a altas altas densidades), a la solución de lámina corrugada,
si la localización en el sistema es expresable como una solución a las ecuaciónes de Hartree-Fock.

La energía por partícula que se encuentra para esta solución (ver apéndice II) está dada por:

$$\frac{E_{LC}}{N} = \epsilon_{LC} = \epsilon_{OP} + \Delta E \qquad(II.3)$$

donde:

$$\Delta E = \frac{\beta}{(1+\beta)} Q^{2} \frac{(14.72)}{r_{5}} + \frac{0.407}{r_{5}} \frac{\beta}{(1+\beta)^{2}} \left[\frac{1}{Q^{2}} - \frac{1}{2} (Q) \right] \dots (II.4)$$

$$f(Q) = 2.9975 \left[\left(\frac{11}{16} + \frac{Q^2}{5} \right) + \left(\frac{1}{5Q} - Q \right) \frac{1}{2} \frac{Q+1}{Q-1} \right] + Q^2 \left(1 - \frac{Q^2}{5} \right) \frac{1}{2} \frac{Q^2}{Q^2 - 1}$$
(II.5)

$$con Q = \frac{8}{2k} 4 \beta = |\mathcal{U}|^2$$

El primer término en (II.3), corresponde a la energía de ondas planas (ver ecuación I.13), y el segundo, ΔF , corresponde a la diferencia de energías \mathcal{F}_{c} $-\mathcal{F}_{op}$. En ΔF el primer término corresponde a la energía cinética, el término que va co $\sqrt{2}$ corresponde a la energía potencial del término direc

to, y el término que contiene a f(q) es debido a la energía del término de intercambio.

Para encontrar a que densidad se encuentra esta transición de fase, se sigue el criterio de mínima energía, y por lo - tanto, la condición para un mínimo en (II.3) está dada por:

$$\epsilon'_{1c} = 0$$
 $\epsilon''_{1c} > 0$

Estas condiciones determinan para qué τ_5 , la energía de lámina corrugada es menor que la energía de ondas planas \mathcal{E}_{r} , esto es:

$$\Delta E = E_{1c} - E_{0p} \leq 0 \qquad \dots (II.6)$$

pero como podemos observar de la ecuación (II.4), el único término negativo corresponde al término de intercambio y - de la gráfica (ver gráfica III) se puede ver que /2 siempre va a ser mayor y aproximadamente el doble que f(Q) por lo que concluimos que para cualquier valor de Q y de β que son nuestros parámetros variacionales , la energía de ondas planas siempre va a ser menor que la de lámina corrugada independientemente de la densidad del sistema.

Este resultado se puede interpretar observando que para es ta solución (ecuación II.1), los electrones van a estar — más cerca unos de otros conforme la densidad aumente y de esta manera se va a rencontrar un aumento en su energía cinética, además, el término directo, que esaspositivo, en este caso no se va a eliminar totalmente, mientras que el término de intercambio que es el único término negativo en la

energía, no es suficiente para anular este aumento.

Para visualizar claramente estos resultados, se va a analizar la función de correlación de pares como en el capítulo anterior, para entender que tan correlacionado está nuestro sistema en este tipo de soluciones.

II.2 FUNCION DE CORRELACION DE PARES PARA LA "SOLUCION TI-PO LAMINA CORRUGADA".

La función de correlación de pares en la aproximación de -Hartree-Fock, está dada por la ecuación (I.17), y sustituyendo la ecuación (II.1) en (I.17), se encuentra que:

$$D(\bar{r}_{1},\bar{r}_{2}) = \frac{P_{0}^{2}}{P(\bar{r}_{1})} \left\{ 1 + M\cos(\bar{q},\bar{r}_{1}) \right\} \left\{ 1 + M\cos(\bar{q},\bar{r}_{2}) \right\} F(5) \quad (II.7)$$

donde:

$$F(s) = \left\{1 - \frac{9}{2} \left(\frac{sm \, s - s \cos s}{s^3}\right)\right\}$$
(II.8)

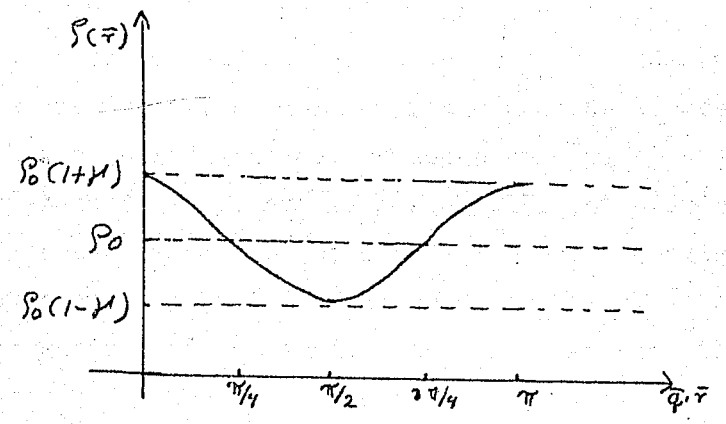
sustituyendo la ecuación (II.2) en (II.7), tomando $q=2k_0Q$, $q=2k_0Q$ escogiendo Q=1, para ilustrar el comportamiento – de la función, se tiene que:

$$D(\bar{r}_1, \bar{r}_2) = P_0 \{1 + M \cos 2 \}_2 \} F(5)$$
(II.9)

de la ecuación (II.9), se puede observar que la función de correlación de pares para esta solución, no es independiente del origen que se escoja, esto se puede entender ya que la densidad de partículas no es homogénea; además existe u-

na dependencia en \mathcal{H} y por tanto depende de \mathcal{A} que nos indica la amplitud de la onda modulante (ver ecuación II.1), co mo podemos observar, $\mathcal{H} = \frac{2}{C(1+|\mathcal{A}|^2)}$ solamente toma valores entre cero y uno, $0 \le \mathcal{H} \le 1$ y para $\mathcal{H} = 6$ el problema se reduce al caso de ondas planas que se revisó en el capítulo anterior.

Para ilustrar el comportamiento de la función de correlación de pares, vamos a escoger varios orígenes en la densidad la cual se puede ver en la siguiente figura:



escogemos dos orígenes diferentes, $f_1 = 0, \frac{\pi}{2}$ para ver que den sidad de partículas existe en $\overline{\tau}_2$ dada una partícula en $\overline{\tau}_1$. Fijamos el valor de γ en $\gamma = 1$.

Sustituyendo estos valores en (II.9), se encuentra que:

$$D_{M_{=1}}(R=0,R_2) = P_0 (1 + \cos 25) F(5)$$
(II.10)

$$D_{y_{-1}}(s_1 = \frac{\pi}{2}, s_2) = s_0(1 - \cos 2s) F(s)$$
(III.11)

El comportamiento de D en función de S se ilustra en las gráficas IV y V. Como podemos observar de la gráfica V, pa ra /2/ / 5, = 1/2 tenemos que la densidad de partículas en --5225, es cero, esto es debido a que en este punto la densidad es cero, pero en general, como se puede ver de la ecuación (II.9), y en particular de la gráfica IV, la densidad de particulas en 📜 🕻 dado que en 👣 exista una densidad de partículas $S(t_i)$ siempre es $\frac{1}{2}S(t_i)$ mientras que cuando la separación tiende a infinito, D tiende a ?(\$\mathbb{G}_2\$). Este es el mismo comportamiento que en el caso de ondas planas, y es u na característica de la aproximación de Hartree-Fock para el caso paramagnético, en donde como ya se dijo, solo se es tá tomando en cuenta la correlación estadística. hace pensar en otro tipo de soluciones localizadas a las ecusciones de Hartree-Fock en donde los electrones de diferen te espin estén separados, y de esta manera, tomar en cuenta otro tipo de correlación estadística.

Como conclusión, tenemos que para la solución tipo lámina - corrugada, el término de intercambio no es suficiente para que $\Delta \mathcal{F} < 0$ y esto es debido a que la correlación estadística disminuye la energía de intercambio pero no lo suficiente para compensar el aumento que se obtiene al acercar las partículas.

Dados estos resultados, el caso en tres dimensiones no se trata ya que se espera un aumento en la energía.

II.3 OTRO TIPO DE SOLUCIONES.

Haciendo referencia a esto, M. de Llano y A. Plastino (7) -- proponen una modificación a la solución tipo lámina corruga

da, en donde las partículas con espín arriba y espín abajo, oscilan fuera de fase, lo que nos dá una estructura antiferromagnética.

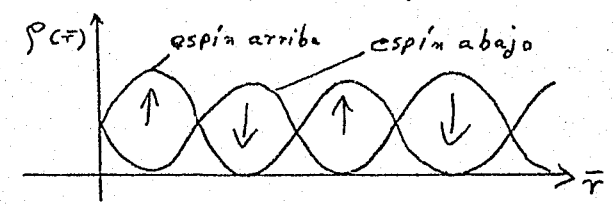
Se definen las orbitales ortonormalizadas:

$$\varphi_{\kappa}(\vec{r}) = C e^{i\vec{k}\cdot\vec{r}} (1+S_{\sigma} d e^{i\vec{k}\cdot\vec{r}}) \dots (II.12)$$

$$C^{-2} = V(1+|\Delta|^{2}) \qquad \text{$2>, 2$ Ko}$$

con $S_6 = \pm 1$ para espín arriba o abajo respectivamente, y demuestran que son soluciones a las ecuaciones de Hartree—Fock en forma matricial (ecuación I.9).

La densidad se ve de la forma:



M. de Llano y A. Plastino utilizan estas funciones para una interacción delta repulsiva $v(\vec{r}_i - \vec{r}_j) = v_o \int (\vec{r}_i - \vec{r}_j)$ $v_o = cte$ y demuestran que $\Delta E = \epsilon(\beta) - \epsilon_{op} \le 0$ donde $\epsilon_{op} = \epsilon(o)$ tomando el valor de β tal que $\epsilon'(\beta) = o$ y $\epsilon''(\beta) > o$ ya que teniendo una interacción repulsiva para que la energía disminuya es necesario que los electrones con espínes diferentes se encuentren lo más separados posible.

La interacción delta repulsiva nos puede dar una idea de có mo se van a comportar sistemas con interacción entre partícuals repulsivas como en el sistema de electrones (repulsivos) en el modelo de jalea en el cue estamos interesados.

Además , Agulera, M. de Ilano, S. Peltier y A. Plastino (8) demuestran la existencia de dos familias de funciones que tam

bién son soluciones de Hartree-Fock en forma matricial:

$$Q_{x}^{(n)}(\bar{\tau}) = C e^{i\bar{k}\cdot\bar{\tau}} (1+d\cos 2x)^{n} (1+d\cos 2x)^{n} (1+d\cos 2x)^{n} (1+d\cos 2x)^{n} (1+d\cos 2x)^{n}$$

donde γ es un entero positivo, siempre y cuando $7 \geqslant 2 \%$.

En este caso se está tomando un cubo de fermi de lado $2 \, k_0$ en lugar de tomar la esfera de fermi, esto se hace por simplicidad, debido a la forma de las ecuaciones (II.13) y --- (II.14) que son separables en las coordenadas (x,y,z), y - se demuestra (7) que la energía que se obtiene al tomar un cubo de fermi no difiere mucho de la que se obtiene al tomar un ar una esfera de fermi.

los autores demuestran que para una interacción delta atractiva $v_{\bar{0}} \mathcal{J}(\bar{\tau}, -\bar{\tau}_2)$, dada una $v_{\bar{0}}$, existe un valor de $\boldsymbol{\prec}$ alque llaman $\boldsymbol{\prec}_{c}$ crítica tal que para valores mayores que $\boldsymbol{\prec}_{c}$ la energía correspondiente es menor que la de ondas $\boldsymbol{\prec}_{c}$ planas.

En el capítulo siguiente vamos a extender el cálculo de A-guilera, M. de Llano, S. Peltier y A. Plastino para el caso de - una interacción delta repulsiva utilizando la estructura de espín de las ecuaciones (II.12).

CAPITULO III

ORBITALES HARTREE-FOCK NO TRIVIALES CON ORDENA-MIENTO DE ESPINES.

En este capítulo se calcula la energía Hartree-Fock para dos familias de funciones semejantes a las dadas por las ecuaciónes (II.13) y (II.14), que son soluciones autoconsistentes a las ecuaciones matriciales de Hartree-Fock, pero ahora se toma un ordenamiento en los espines (estructura antiferro magnética) para una interacción delta repulsiva entre partículas. Se espera, como se analizó en el capítulo anterior, — que al separar a las partículas de diferente espín, se tenga una disminución en la energía debido a que en este caso va mos a tener otro tipo de correlación estadística del cue se toma en la aproximación de Hartree-Fock para el caso para—magnético.

Se calcula la energía Hartree-Fock del sistema para una interacción delta repulsiva de la forma $v(\vec{r}_1 - \vec{r}_2) = v_0 \int (\vec{r}_1 - \vec{r}_2)$ con $v_0 = J_c > 0$.

III.1 FAMILIA I

La primera familia de funciones que se va a analizar, se construye tomando orbitales separados para cada coordenada cartesiana:

$$\vec{P}_{k}^{(m)}(\vec{\tau}) = \varphi_{k_{1}r}^{(m)}(\vec{x}) \varphi_{k_{3}r}^{(m)}(\vec{z}) \varphi_{k_{2}r}^{(m)}(\vec{z}) \dots (III.1)$$

donde:

$$\varphi_{k_{\nu,r}}^{(n)}(x) = C_x e^{ik_x x} (1+ds_r e^{ig_r})^{n} \chi_{r}...(III.2)$$

$$d = 1d/e^{i\phi}$$

lo que refleja una dependencia en la selección del orígen; y tenemos lo mismo para "y" y para "z",

$$S_r = \begin{cases} +1, \text{si tenemos espín arriba} \\ -1, \text{si tenemos espín abajo} \end{cases}$$

$$C_{x}^{-2} = L \stackrel{\pi}{\underset{s=0}{\stackrel{\sim}{=}}} {\binom{n}{s}}^{2} d^{2s} + \frac{\xi}{\sigma} S_{\sigma} = 0$$

donde $C = C_{\kappa} C_{\nu} C_{\nu}$ nos da la normalización de $\Phi_{\kappa}(\bar{\tau})$ dentro del volumen $V = L^3$; $\binom{m}{2} = \frac{m!}{(m-2)! l!}$ son los coeficientes binomiales.

La funciones (III.1) son soluciones siempre y cuando 9>26 (resuelven las ecuaciones de Hartree-Fock en forma matricial).

Nuevamente es conveniente tomar el cubo de fermi de lado $2 \, k_{\rm e}$ dada la estructura de las funciones (III.1).

La densidad resulta estar dada por:

$$S(\bar{\tau}) = \frac{2}{\kappa(cc)} \left| \bar{\Phi}_{\kappa}(\bar{\tau}) \right|^{2} = S_{0} \frac{\sum_{s=0}^{N_{2}} {\binom{m}{2s}} A^{m-2s} B^{2s} (\bar{\tau})}{\left(\sum_{s=0}^{\infty} {\binom{m}{2s}}^{2s} A^{2s} \right)^{3}}$$
donde:
$$(III.3)$$

$$A(\mp) = \left[(1 + 1\lambda 1^2)^3 + (21\lambda 1)^2 (1 + 1\lambda 1^2) (\cos 2x \cos 2x + \cos 2x \cos 2x) \right]....(III.4)$$

$$B(=) = \left[2 \times (1 + 1 \times 1^{2})^{2} (eog q \times + con q +$$

El loulo de la enería Hartree-Fock que resulta de sustitu ir III.1) en (I.9) donde:

parti una interacción delta repulsiva, se encuentra que está

dad: por(ver apéndice III):
$$E_n(\mathbb{R},\lambda,d) = 1 + \left(12 \mathbb{Q}^2 \sum_{k=0}^{m} {n \choose k}^2 \lambda^2 \lambda^2 \right) \left(\sum_{k=0}^{m} {n \choose k}^2 \lambda^{2k}\right) \left(\sum_{k=0}^{m} {n \choose k}^2 \lambda^{2k}\right)$$

$$+ \frac{1}{3} \left\{ \left(\sum_{s,\ell=0}^{m} {n \choose \ell} {m \choose s} (1+|\mathcal{L}|^2)^{2n-(s+\ell)} (2\mathcal{L})^{s+\ell} \right\}_{s+\ell}^{3} \right\}$$

$$+\left(\sum_{\ell=0}^{m} {m \choose \ell} {n \choose s} (1+\lambda^{2})^{2m-(s+\ell)} (2\lambda)^{s+\ell} (-1)^{\ell} I_{s+\ell}\right)^{3} \\ -\left(\sum_{\ell=0}^{2m} {2m \choose \ell}^{2} \lambda^{2\ell}\right)^{3} \left\{\sum_{\ell=0}^{m} {m \choose \ell}^{2} \lambda^{2\ell}\right\}^{6} \dots (III.6)$$

don $E_m = \frac{2mE}{k^2k_0^2N}$ es la energía por partícu—la Dimensional.v:

$$Q = \frac{2}{2K_0} \qquad \lambda \equiv \frac{3m v_0 K_0}{k^2 \pi^3} \quad ..(III.7)$$

$$I_{\ell} \equiv \frac{1}{\pi} \int_{0}^{\pi} dx \cos^{2}x = \frac{1}{2} \left[1 + (-1)^{\ell} \right] \frac{1}{2^{\ell}} \left(\frac{\ell}{2} \right) \dots (III.8)$$

El primero y segundo términos corresponden a la energía cinética, el tercero y cuarto a la energía del término directo y el quinto a la energía de intercambio.

En el caso en que $\langle - \rangle_0$ tenemos que (III.8) \rightarrow ($1 + \frac{\lambda}{3}$)---- que nos dá el caso de ondas planas:

$$\epsilon_{m}(Q,\lambda,d=0) = \epsilon_{op}(\lambda) = \left(1+\frac{\lambda}{3}\right)...(III.9)$$

y queremos encontrar para que valor de 🔾 :

$$\Delta E = \epsilon^{(m)}(Q, \lambda, \lambda) - \epsilon_{op}(\lambda) \leq 0 \qquad ..(111.10)$$

Claramente se ve por inspección que como $\mathcal{F}\gg 2\,k_0$, y debido a que el término que contiene a Q es positivo, que la energía se minimiza en el parámetro Q para Q=I.

Dado que « es un parámetro variacional, la energía se minimiza cuando se encuentra el valor de alfa dado por:

$$\frac{\partial \mathcal{E}_n(\lambda, d)}{\partial d} = 0 \quad y \quad \frac{\partial^2 \mathcal{E}_n(\lambda, d)}{\partial d^2} > 0 \quad .. \text{(III.11)}$$

para cada my d. Debido a la estructura de las ecuaciones (III.6) este calculo se puede realizar numéricamente.

En el caso m=1 los resultados de la energía coinciden con los encontrados por M. de Llano y A. Plastino (7), quienes

encuentran por medio de un análisis numérico, que para $\lambda > \lambda = 0$ esta solución es más estable (DFO) que la de ondas planas. Se espera que para m > 1 se tenga tambien que DFO ya que, como ya se dijo, esta familia de soluciones nos da una estructura antiferromagnética, y como se puede ver de la tabla I, al aumentar el valor de n, la densidad va a dar zonas mas lo calizadas y las partículas con espín antiparalelo van a estar mas separadas.

3.	r mas sepa	radas.		Tab	la I
		m=1	n=7	n=15	
	\$(0,0,0)	3.65	44.9214		
	.9 (%, %, %)	1,245	3.9 /5 x 10		
	9(11,11,11)	3.65	44.9214		

El hecho de que esta familia nos de una estructura anti--ferromagnética se puede ver analizando la densidad neta de
espín en los puntos (0,0,0) y $(\mathcal{T},\mathcal{T},\mathcal{T})$ cue es donde tenemos nuestron máximos en la densidad (ver tabla I). Este aná
lisis se puede hacer calculando la densidad de espín "arriba" y la densidad de espín "abajo" en estos dos puntos:

$$S_{\Lambda}(\bar{\tau}) = \sum_{k(oc)} |9_{k,\Lambda}(\bar{\tau})|^{2} = \sum_{k(oc)} |c|^{2} (1+de^{igx})^{2n} \times (1+de^{igx})^{2n} \times$$

 $= \frac{1}{2} \int_{0}^{2\pi} \frac{3^{m-1}}{5=0} \left(\frac{6\pi}{25+1}\right) \sqrt{\frac{25+1}{25+1}}$ $= \frac{1}{2} \int_{0}^{2\pi} \frac{(\pi)^{2}}{5} \propto 2^{5} \sqrt{\frac{3}{5}}$

mientras que en (π, π, π) tenemos el mismo resultado pero con signo contrario lo que nos dice, que independientemente de los valores de α y n, se encuentra que esta familia de soluciones, como era de esperarse, nos da una estructura—antiferromagnética.

El proceso de minimización de la energía para esta familia de soluciones (ecuación III.6) se esta llevando a cabo actualmente y se esperan encontrar resultados proximamente.

Notice:
$$d=1$$
: $\int_{1}^{2} (0,0,0) - \int_{1}^{2} (0,0,0) = \frac{1}{2} \int_{0}^{2} \left[\frac{2^{2n}}{\sum_{s=0}^{\infty} {n \choose s}^{2}} \right]^{s}$

$$= \frac{1}{2} \int_{0}^{2} \left(\frac{2\pi n}{n} \right)^{3/2} dn$$

$$\xrightarrow{n \to 1} \frac{1}{2} \int_{0}^{2} (2\pi n)^{3/2} dn$$

III.2 FAMILIA II

De acuerdo con la ecuación (II.14) del capítulo anterior, la segunda familia de funciones que nos dá un ordenamiento en los espínes se ve de la forma:

$$Q_{Kx}^{(n)}(x) = C_x e^{iKx} \left[1 + 5_\sigma < \cos q x \right]^n ...(III.12)$$

$$\oint_{K}^{(n)} (\bar{\tau}) = \varphi_{kx}^{(n)}(x) \varphi_{k}^{(n)}(y) \varphi_{kx}^{(n)}(z) \dots (III.13)$$

 $C_{x}^{-2} = L \sum_{n=1}^{\infty} {2n \choose 2n} \lambda^{n} I_{2n}$ donde:

$$S_{a} = \begin{cases} +1 & \text{espin arriba} \\ -1 & \text{espin abajo} \end{cases}$$

T, está dado por la ecuación (III.8), y nuevamente son soluciones a las ecuaciones de Hartree-Fock siempre y cuando 9>2K.

La densidad está dada por:

La densidad está dada por:
$$\beta(\overline{\tau}) = \sum_{s=0}^{m} {2m \choose 2s} D(\overline{\tau}) \stackrel{2(m-s)}{=} \stackrel{2(\overline{\tau})}{=} \dots (III.14)$$
donde:
$$\frac{\sum_{s=0}^{m} {2m \choose 2s} d^{2s} I_{2s}^{3}}{\sum_{s=0}^{m} {2n \choose 2s} d^{2s} I_{2s}^{3}} \dots (III.14)$$

 $D(\tau) = \left[1 + |\mathcal{U}|^2 \left(\cos q \times \cos q y + \cos q y \cos q z + \cos q z \cos q x\right)\right] \cdot (\text{III.15})$

donde por simplicidad se supone & real.

El cólculo de la energía, al sustituir (III.13) en (I.9), resulta estar dada por (ver apéndice IV):

$$E_{m}(Q,\lambda,\lambda) = 1 + \frac{12Q^{2n} \sum_{k=0}^{2n-1} {2m-2 \choose 2k} I_{2k} \lambda^{2k} I_{2k}}{\sum_{k=0}^{2n} {2n \choose 2k} \lambda^{2k} I_{2k}} + \frac{1}{3} \left(\frac{\sum_{s=0}^{2n} {2n \choose s} {2n \choose k} \lambda^{2k} I_{2s}}{\sum_{s=0}^{2n} {2n \choose s} \lambda^{2s} I_{2s}} \right)^{3} \dots (III.17)$$

donde
$$E_m(Q, \lambda, d) = \frac{2mE}{\hbar^2 K_0^2 N}, \lambda = \frac{3m v_0 K_0}{\hbar^2 \pi^3} Q = \frac{9}{2K_0}$$

El primero y segundo términos corresponden a la energía - cinética y el tercero corresponde a una parte de la energía a debido al término directo, la otra parte se eliminó con el correspondiente a la energía del término de intercambio.

Por inspección se ve que la energía se minimiza en Q para Q=/ y se reduce al caso de ondas planas :

$$\epsilon_m(1,\lambda,\lambda=0)=\epsilon_{op}(\lambda)=(1+\frac{\lambda}{3})$$

para d=0 , que es la misma que encontramos en la primera familia como era de esperarse.

Para ilustrar la forma de la densidad en esta familia, se han escogido valores para n = 1,7,15,50 y se ha tomado

el caso en que d= 2 (ver graicas VI; VIII, VIII, IX, X, XI). Co—
mo podemos observar, el comortamiento de la dessidada al aumentar n, va a dar nuevamente zonas mas localizadas y las par
tículas con espín antiparalelo van a estar mas separadas. Es
to se puede ver mas claramente en la tabla II donde damos
algunos valores de la densidad en los puntos donde se encuen
tran máximos o mínimos:

 máximos o m	inimos:	Tabla II			
	m=1	m=7	n=16		
8(0,0,0)	4.00548	79.20931	248.9122		
8 (7/2, 7/2)	0.7023	0.0000864	0.00000		
१८ग,ग,ग)	4.00548	7 9. 20931	248.9122		

y es por esto que se espera que para esta familia de solu-ciones existan valores de α tales que $\Delta F < 0$.

Nuevamente, el hecho de que esta familia nos de una estructura antiferromagnética se puede ver analizando la densidad neta de espín en los puntos (0,0,0) y (π,π,π) que es donde tenemos nuestros máximos (ver gráficas de la VI a la XI). Este análisis se puede hacer calculando la densidad de espín "arriba"

$$\varphi_{\gamma}(\pi,\pi,\pi) = \frac{N}{2} |c|^2 (1-d)^{6m}$$

en estos dos puntos, y calculando la densidad de espín "abajo" nuevamente en estos dos puntos:

$$P_{V}(\bar{r}) = \sum_{k(oc)} |c|^{2} (1 - \lambda \cos gx)^{2m} (1 - \lambda \cos gx)^{2n}$$

$$(1 - \lambda \cos gz)^{2m}$$

$$P_{V}(o,0,0) = \frac{N}{2} |c|^{2} (1 - \lambda)^{6m}, P_{V}(\pi,\pi,\pi) = \frac{N}{2} |c|^{2} (1 + \lambda)^{6m}$$

de aquí, que la densidad neta de espín en estos dos puntos está dada por:

$$P_{\Lambda}(0,0,0) - P_{U}(0,0,0) = \frac{N}{2} |C|^{2} \left\{ (1+\lambda)^{6\eta} - (1-\lambda)^{6\eta} \right\}$$

$$= - \left\{ P_{\Lambda}(\pi,\pi,\pi) - P_{L}(\pi,\pi,\pi) \right\}$$

lo que nos da una estructura antiferromagnética en donde al aumentar el valor de n,la densidad va a dar nuevamente zo-nas mas localizadas y las partículas con espín antiparalelo van a estar más separadas.

Nuestro resultado final para el valor de la energía está da

do en términos del parámetro \angle (ver ecuación III.17) y como ya se dijo, actualmente se está realizando un análisis numérico para minimizar dicha energía con respecto al parámetro variacional \angle .

Notice:
$$d = 1$$
: $\int_{A}^{2n} (0,0,0) - \rho_{1}(0,0,0) =$

$$= \frac{1}{2} \int_{0}^{2n} \left[\frac{2^{2n}}{\sum_{s=0}^{2n} {2n \choose 2s}} \right]^{3} > \frac{1}{2} \int_{0}^{2n} \left[\frac{2^{2n}}{\sum_{s=0}^{2n} {n \choose s}^{2}} \right]^{3}$$

$$\Rightarrow \frac{1}{2} \int_{0}^{2n} (2\pi n)^{3/2}$$

EXPLICACION DE LAS GRAFICAS.

Gráfica I:

En esta figura se grafica la función de correla—ción de pares para la solución de ondas planas a las ecuaciones de Hartree-Fock en los casos ferromagnético y para—magnético. Se puede hacer notar, que en el caso ferromagnético la curva parte de cero, mientras que en el caso para—magnético la curva parte de 126.

Gráfica II:

En esta figura se grafica la energía por partícu la que se obtiene de la solución de ondas planas a las ecuaciones de Hartree-Fock en la región de bajas densidades, tambien se grafica la energía que obtiene Wigner de su cálculo semiclásico a bajas densidades, y se observa que la energía del sólido simpre va a ser menor que la de ondas planas.

Gráfica III:

En esta figura se grafican \mathcal{A} del término directo en el cálculo de la energía para la solución tipo lámina corrugada, y f(Q) del término de intercambio. Se produce notar que \mathcal{A} siempre va a ser mayor que f(Q) por lo que se concluye que la energía de lámina corrugada siempre va a ser mayor que la de ondas planas.

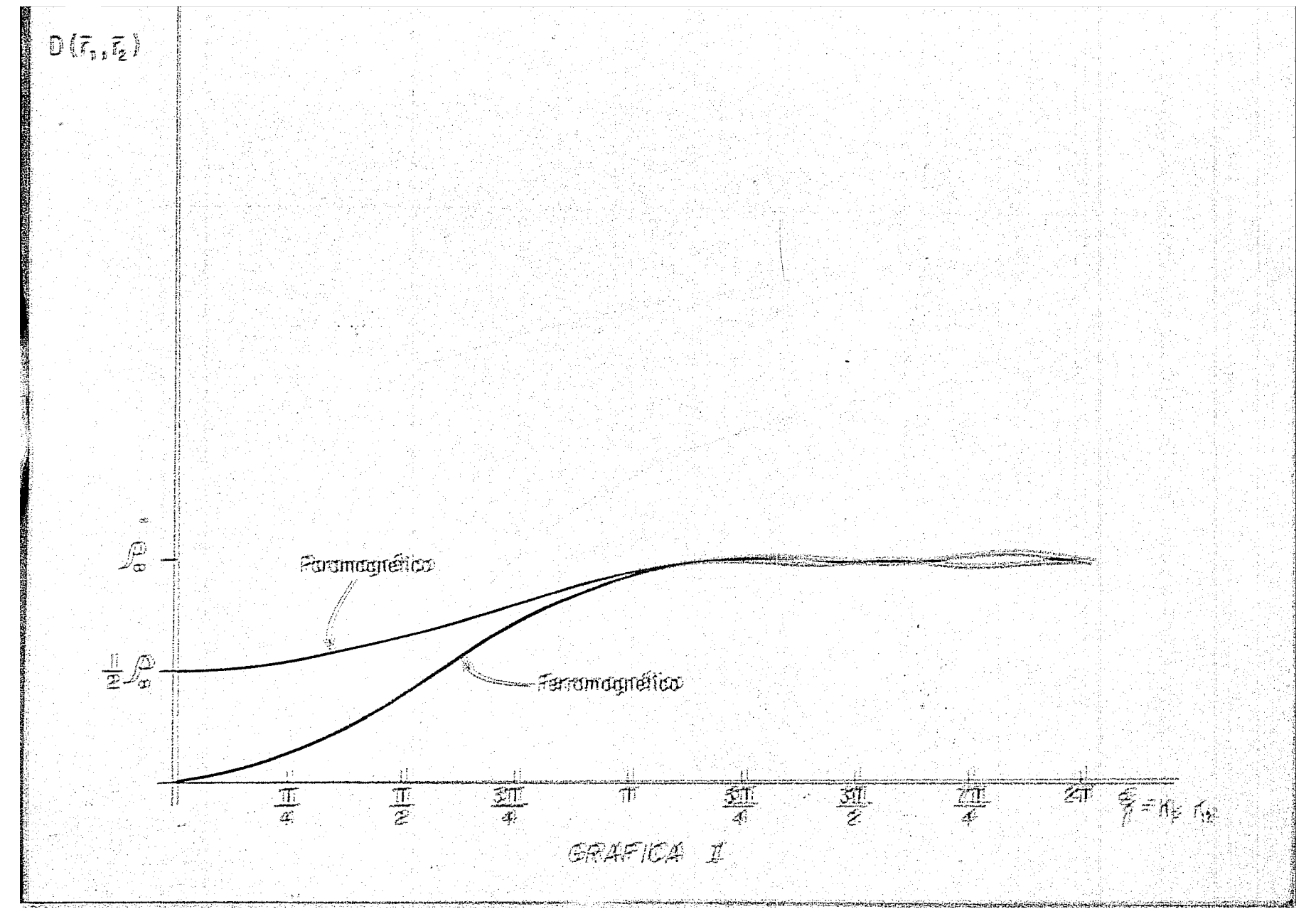
Gráficas IV y V:

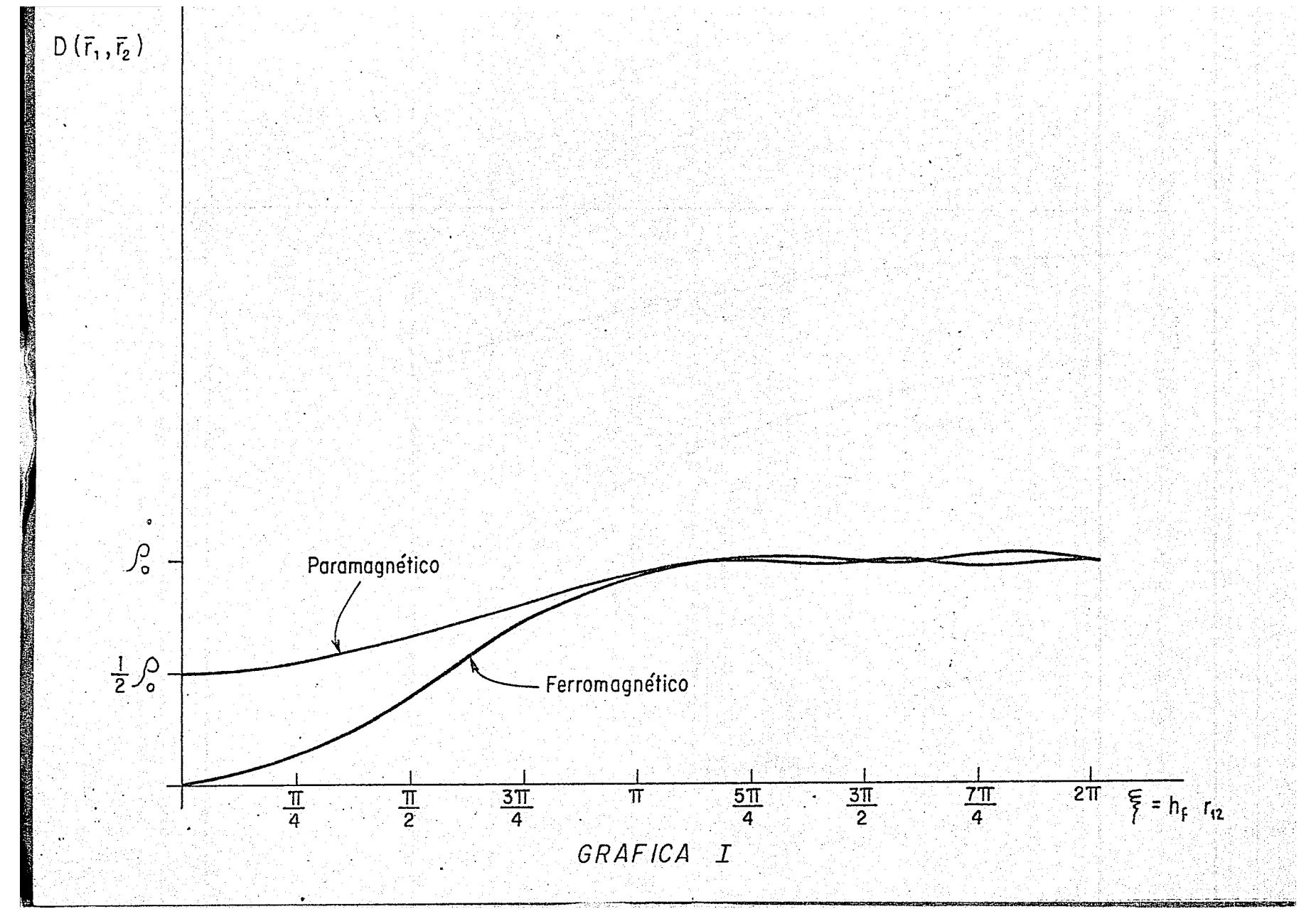
Acuí se grafica la funciónede correlación de pares para la solución tipo lámina corrugada, en la gráfica IV se escoge el origen en \(\begin{align*} = 0 \text{ mientras que en la gráfica ca V se escoge } \(\begin{align*} = \frac{1}{2} \end{align*}, \text{ en general, el resultado que se obtiene es que en } \(\begin{align*} = \frac{1}{2} \end{align*}, \text{ siempre vamos a encontrar } \(\begin{align*} \be

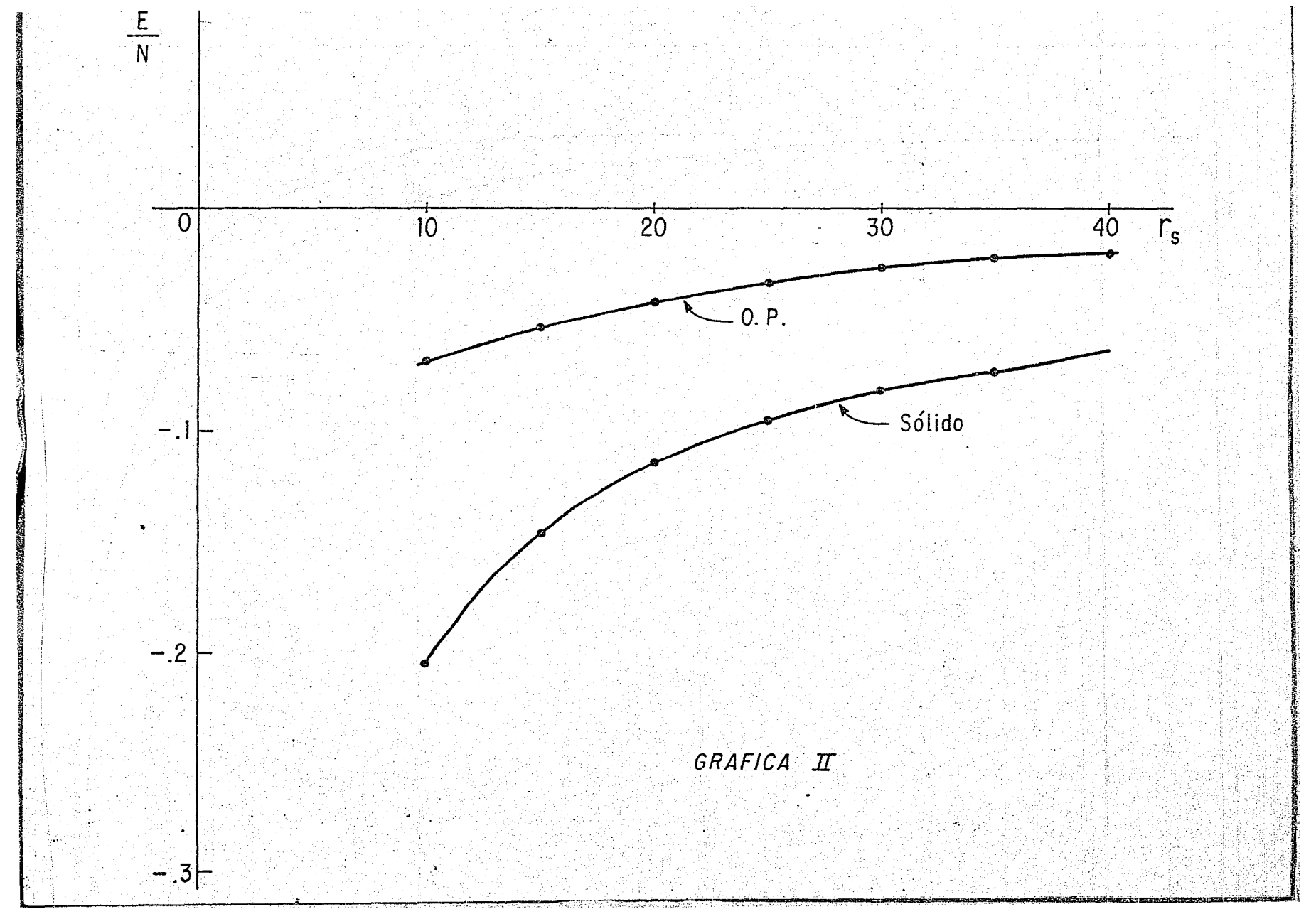
En estas gráficas se dibuja la den sidad de partículas para la familia \mathbb{T} del tercer capítulo – para $\mathcal{N}=/$ en tres planos diferentes; $\mathbb{Z}=\mathcal{O}, \mathbb{Z}_+, \mathbb{T}_-$, se – puede notar que el valor de la densidad en el punto (0,0,0) coincide con el del punto (π,π,π) .

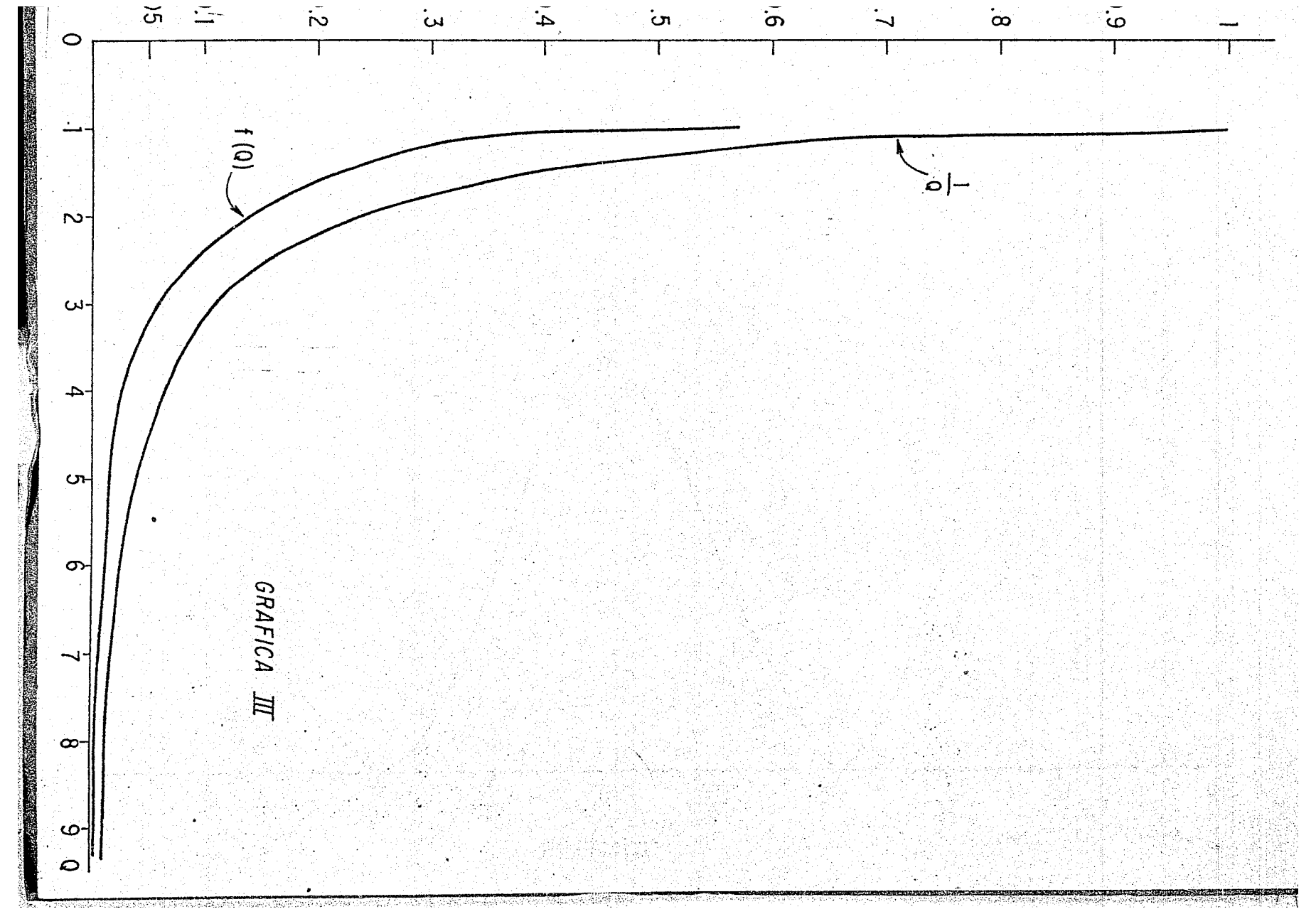
Gráficas IX,X,XI:

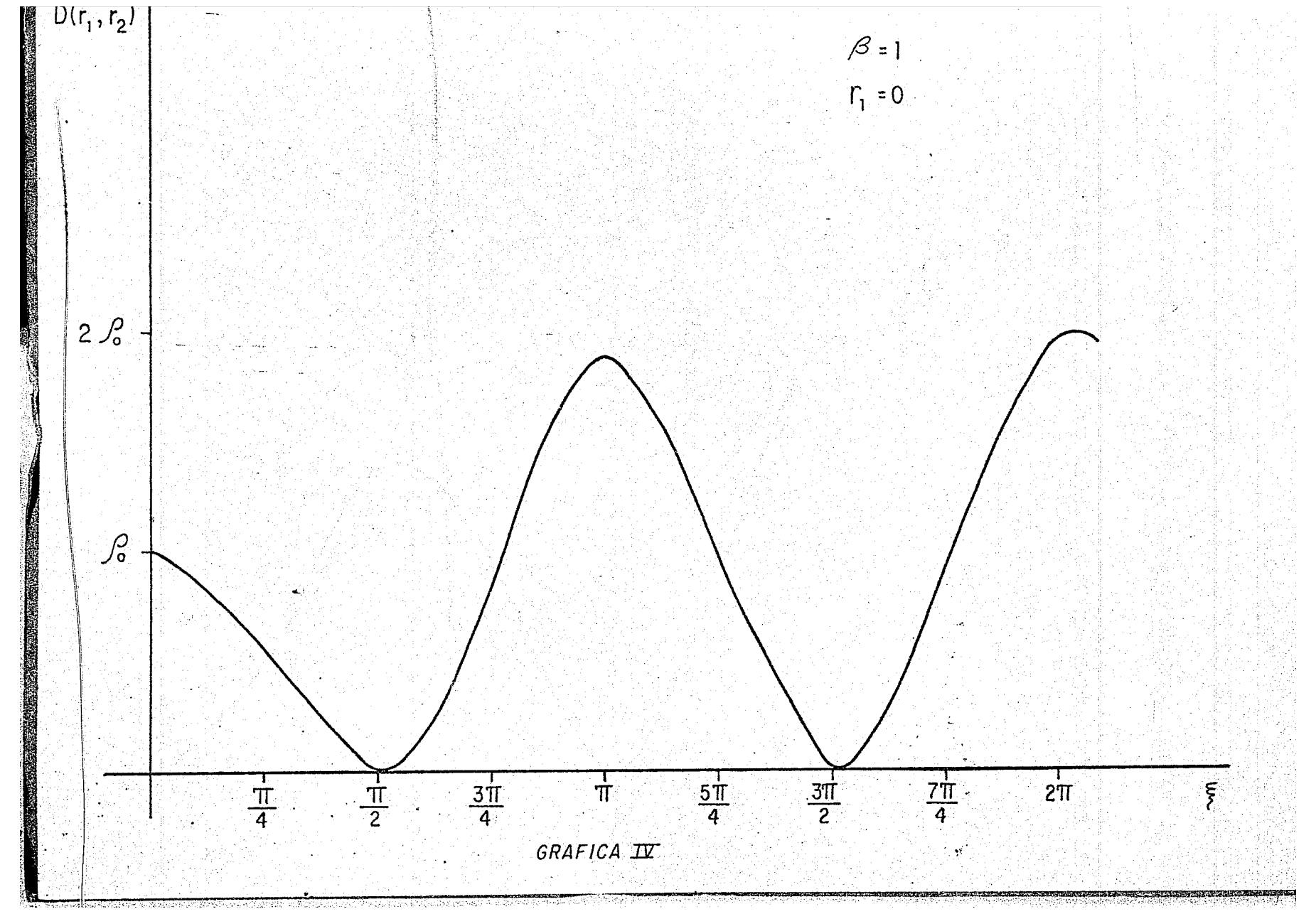
The esta figura se grafica la densidad de partículas para la segunda l'milia tomando el valor m=7, y como podemos observar al comparar las gráficas VI, VIII, y VIII com estas gráficas, al aumentar el valor de n, se va a aumentar la localización en las partículas.

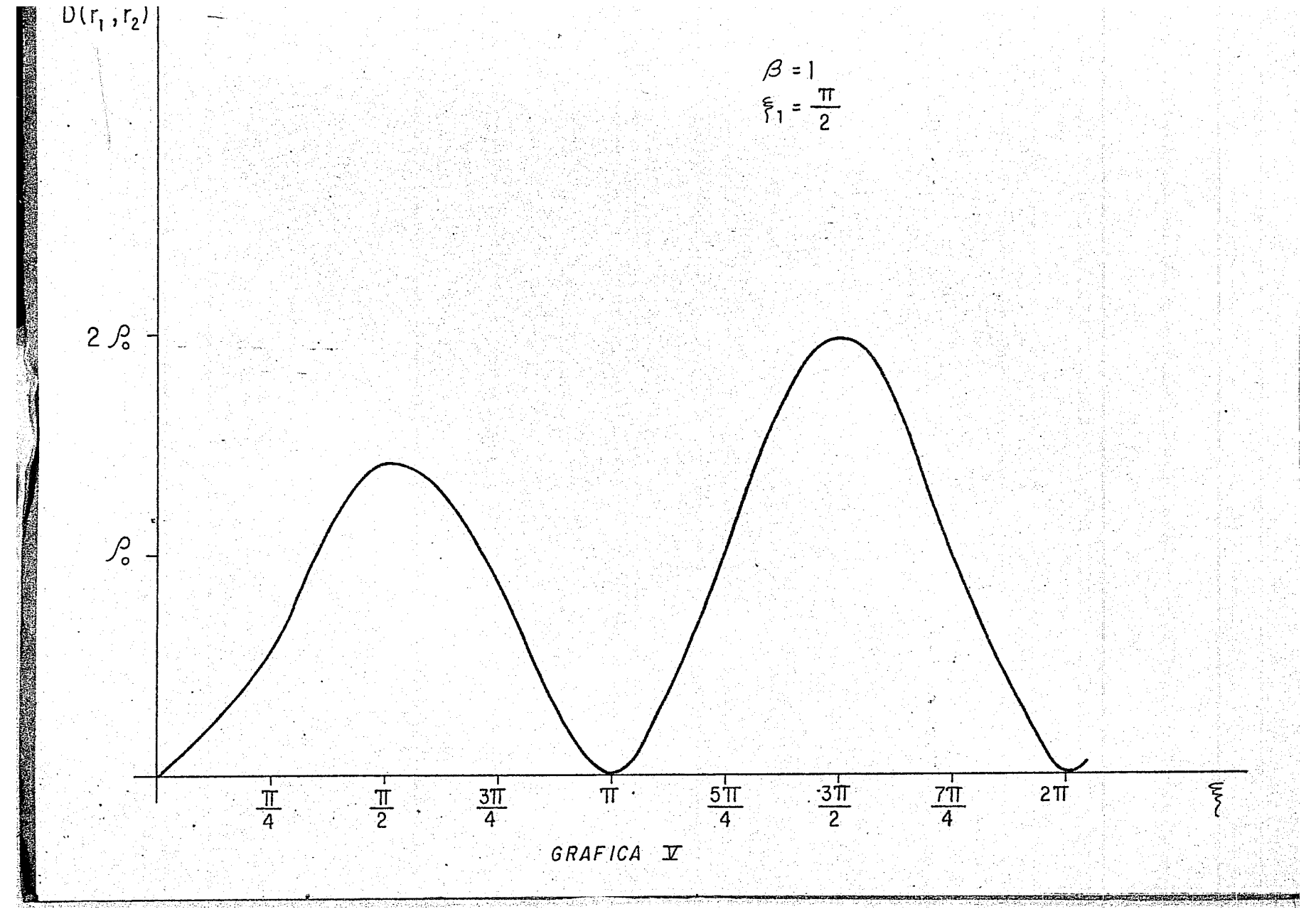


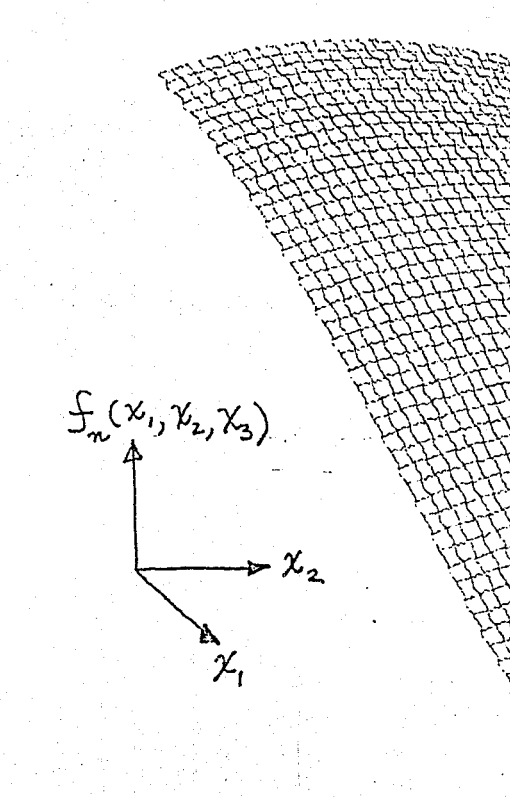










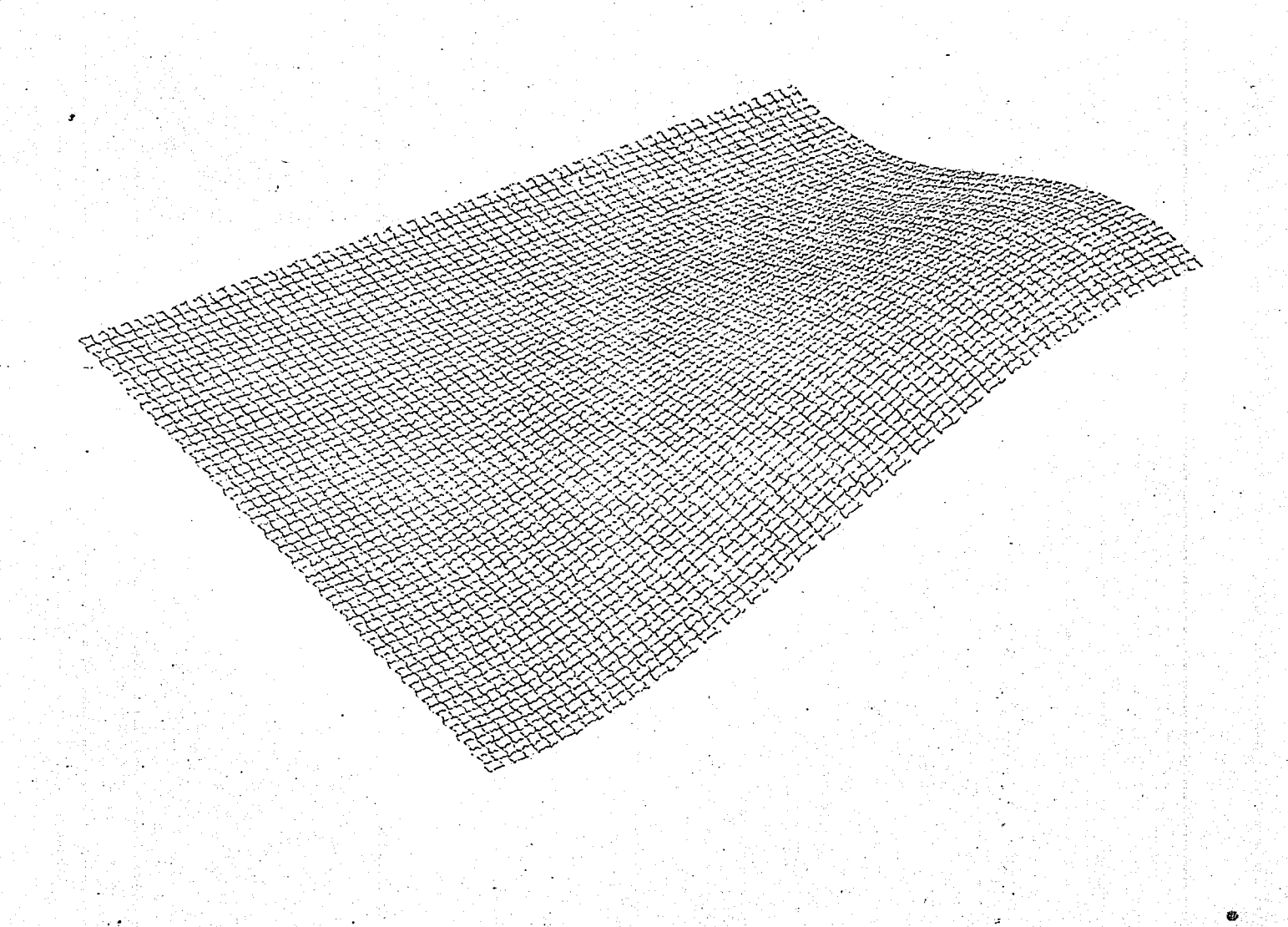


DÉNS1

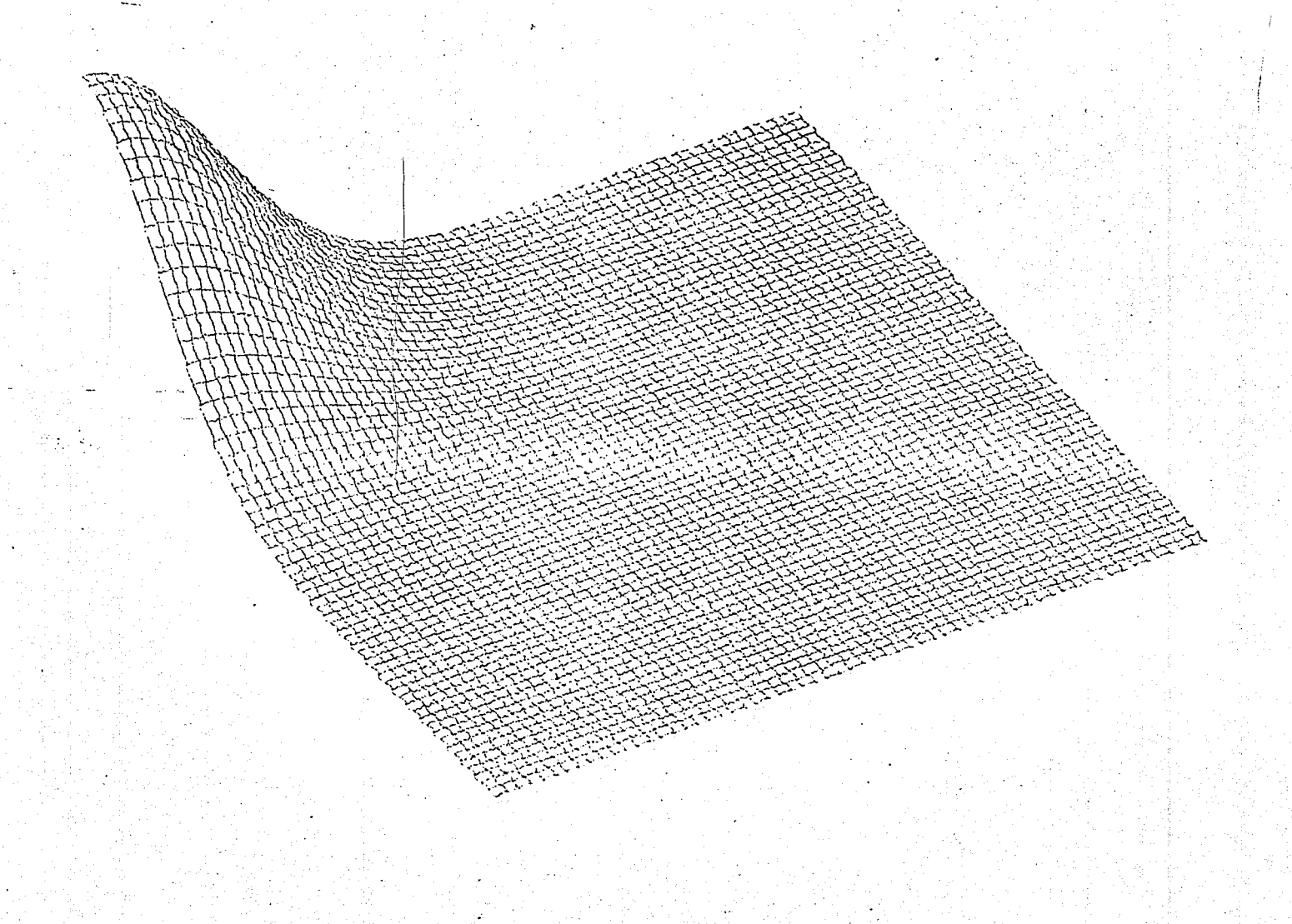
ALF

ALF + .5 Z = .0000

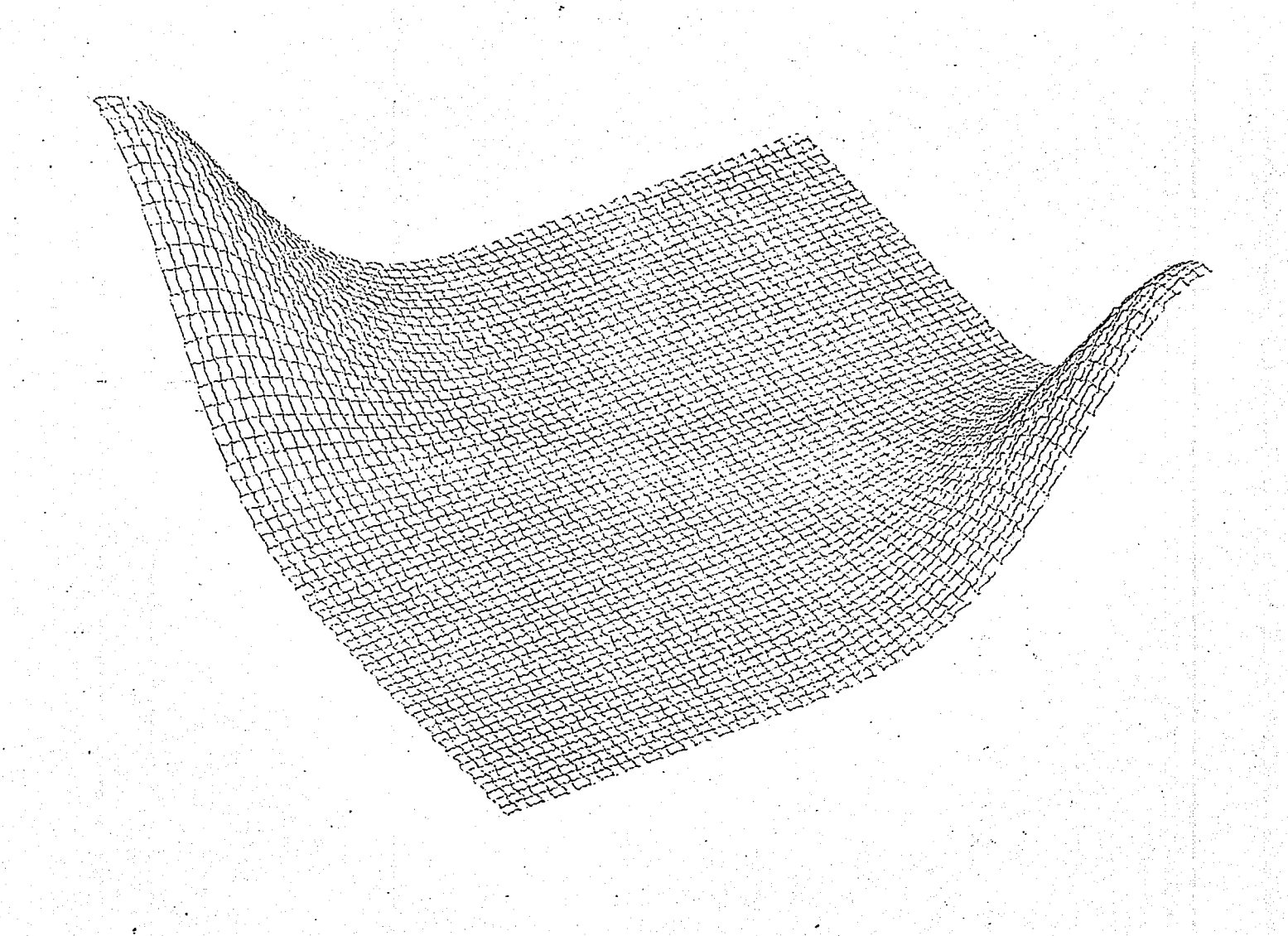
DENS1 . N = 1 ALF = .5 Z = 1.5708



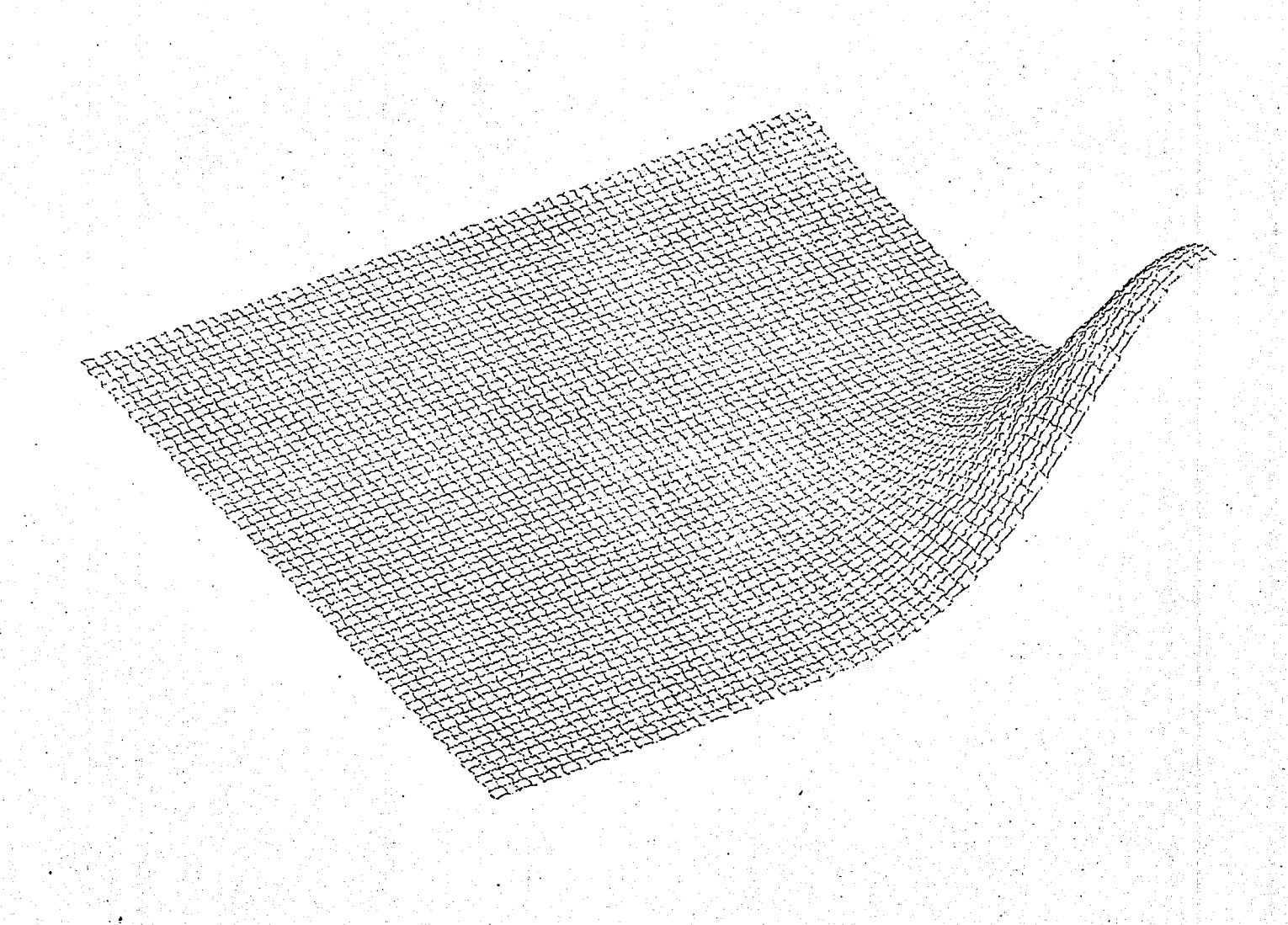
DENS1 , N = 1 ALF = .5 Z = 3.1416



DENS1 N = 7 ALF = .5 Z = .0000



DENS1 . N = 7 ALF = .5 Z = 1.5708



DENS1 N = 7 ALF = .5 Z = 3.1416

APENDICE I

Un breve bosquejo de la prueba de cue el conjunto de funciones dado por la ecuación (II.1) es solución a las ecuaciónes de Hartree-Fock en forma matricial.

Tenemos que la ecuación (II.1) está dada por:

$$\varphi_{\kappa} = Ce^{i\vec{k}\cdot\vec{r}}(1+\alpha e^{i\vec{g}\cdot\vec{r}})$$

$$q > 2 \text{ Ko} \qquad \alpha = |\alpha|e^{i\alpha}$$
(II.1)

Sustituyendo (II.1) en (I.8) se encuentra que :

1) El término en la energia cinética está dado por:

$$\langle K_{i}^{2}|T|K_{i}\rangle = \frac{\hbar^{2}K_{i}^{2}}{2m}|C|^{2}\int_{e^{-i\overline{K}_{i}^{2}}}e^{-i\overline{K}_{i}^{2}\cdot\overline{r}}(1+\alpha^{*}e^{-i\overline{g}\cdot\overline{r}})e^{i\overline{K}_{i}\cdot\overline{r}}d\overline{r}$$

 $+ \hbar^{2}(\overline{K}_{i}+\overline{q})^{2}|C|^{2}d\int_{e^{-i\overline{K}_{i}^{2}\cdot\overline{r}}}(1+\alpha^{*}e^{-i\overline{g}\cdot\overline{r}})e^{-i(\overline{K}_{i}+\overline{q})\cdot\overline{r}}d\overline{r}$

que al integrag cuando el volumen tiende a infinito, nos que dan términos que contienen $V \int_{K_1',K_1+\eta} donde n = 0,1 y$ dado que $q \geqslant 2K_0$, $\int_{K_1',K_1+\eta} = 0$ por lo tanto:

2) Para completar la prueba tenemos que demostrar un resultado similar en la parte de la energía potencial de la ecuación (1.8).

El término directo:

$$D = \sum_{K(\sigma_{1})} \langle K_{1}^{\prime} K_{2} | \mathcal{U}_{2} | K_{2} k_{2} \rangle$$

$$\langle K_{1}^{\prime} K_{2} | \mathcal{U}_{12}^{\prime} | K_{1} k_{2} \rangle = 1c1^{4} \int_{G_{K_{1}}, \Gamma_{K_{1}}} \int_{V} d\bar{\tau}_{1} d\bar{\tau}_{2} e^{-iK_{1}^{\prime} \bar{\kappa}_{1}^{\prime}} (1 + \omega^{*} e^{-i\bar{k}^{\prime} \bar{\kappa}_{1}^{\prime}})$$

$$e^{-i\bar{k}_{1}^{\prime} \bar{\tau}_{2}^{\prime}} (1 + \omega^{*} e^{-i\bar{k}^{\prime} \bar{\kappa}_{2}^{\prime}}) \mathcal{U}_{12} e^{-iK_{1}^{\prime} \bar{\kappa}_{1}^{\prime}} (1 + \omega^{*} e^{-i\bar{k}^{\prime} \bar{\kappa}_{1}^{\prime}}) (1 + \omega^{*} e^{-i\bar{k}^{\prime} \bar{\kappa}_{1}^{\prime}}) e^{-iK_{1}^{\prime} \bar{\kappa}_{1}^{\prime}} e^{-iK_{1}^{\prime} \bar{\kappa}_{1}^{\prime}} e^{-i\bar{k}^{\prime} \bar{\kappa}_{1}^{\prime}}) e^{-iK_{1}^{\prime} \bar{\kappa}_{1}^{\prime}} e^{-i\bar{k}^{\prime} \bar{\kappa}_{1}^{\prime}} e^{-i\bar{k}^{\prime} \bar{\kappa}_{1}^{\prime}}) e^{-i\bar{k}^{\prime} \bar{\kappa}_{1}^{\prime}} e^{-i\bar{k}^{\prime} \bar{\kappa}_{1}^{\prime}} e^{-i\bar{k}^{\prime} \bar{\kappa}_{1}^{\prime}} e^{-i\bar{k}^{\prime} \bar{\kappa}_{1}^{\prime}}) e^{-i\bar{k}^{\prime} \bar{\kappa}_{1}^{\prime}} e^{-i\bar{k}$$

tomando:

$$\overline{r}_{\perp} = \overline{r}_{1} - \overline{r}_{2}$$
; $R = \frac{1}{2} (\overline{r}_{1} + \overline{r}_{2})$

y utilizando el hecho de que:

se encuentra cue:

$$D = 1C1^{9} \left\{ V \mathcal{L}_{1,k}^{1}, \ v co) (1 + 1 \times 1^{2}) + (1 + 1 \times 1^{2}) \left[V \mathcal{L}_{k,k+q}^{1}, \ d v (-\overline{k}) \right] + V \mathcal{L}_{k,k+q}^{1}, \ v co) + \lambda^{2} V \mathcal{L}_{k,k+q}^{1} \mathcal{L}_{k,k+q}^{1}$$

donde viles la transformade de fourier de vos):

$$V(\bar{k}) = \int d\bar{r} \, e^{-i\bar{k}\cdot\bar{r}} (v(\bar{r}))$$

y ya que 9>2K se fiene oue $S_{K,K'+mg}=0$ Para $m\neq 0$ de aqui que: $D=(\cdots)$ $S_{K',K}$

El término de intercambio:

$$I = \sum_{K(oc)} \langle K_1' \vec{K}_2 | v_{i_2} | K_2 K_1 \rangle$$

$$\langle K_1' K_2 | v_{i_2} | K_2 K_1 \rangle = |C|^{\frac{1}{2}} \int_{G_{K_1} G_{K_2}} \left(\int_{G_{K_2} G_{K_2}} d_{K_2} \vec{r}_{i_1} d_{r_2} e^{-i \vec{k}_1' \cdot \vec{r}_{i_1}} (1 + d^* e^{-i \vec{k}_1 \cdot \vec{r}_{i_2}} \right) \times (\vec{r}_1 \cdot \vec{r}_{i_2}) \cdot e^{-i \vec{k}_2 \cdot \vec{r}_{i_1}} (1 + d^* e^{-i \vec{k}_1 \cdot \vec{r}_{i_2}}) \cdot e^{-i \vec{k}_2 \cdot \vec{r}_{i_1}} (1 + d^* e^{-i \vec{k}_1 \cdot \vec{r}_{i_2}}) \cdot e^{-i \vec{k}_2 \cdot \vec{r}_{i_1}} (1 + d^* e^{-i \vec{k}_1 \cdot \vec{r}_{i_2}}) \cdot e^{-i \vec{k}_2 \cdot \vec{r}_{i_1}} (1 + d^* e^{-i \vec{k}_1 \cdot \vec{r}_{i_2}}) \cdot e^{-i \vec{k}_2 \cdot \vec{r}_{i_1}} (1 + d^* e^{-i \vec{k}_1 \cdot \vec{r}_{i_2}}) \cdot e^{-i \vec{k}_2 \cdot \vec{r}_{i_1}} (1 + d^* e^{-i \vec{k}_1 \cdot \vec{r}_{i_2}}) \cdot e^{-i \vec{k}_2 \cdot \vec{r}_{i_1}} (1 + d^* e^{-i \vec{k}_1 \cdot \vec{r}_{i_2}}) \cdot e^{-i \vec{k}_2 \cdot \vec{r}_{i_1}} (1 + d^* e^{-i \vec{k}_1 \cdot \vec{r}_{i_2}}) \cdot e^{-i \vec{k}_2 \cdot \vec{r}_{i_1}} (1 + d^* e^{-i \vec{k}_1 \cdot \vec{r}_{i_2}}) \cdot e^{-i \vec{k}_1 \cdot \vec{r}_{i_2}} (1 + d^* e^{-i \vec{k}_1 \cdot \vec{r}_{i_2}}) \cdot e^{-i \vec{k}_1 \cdot \vec{r}_{i_2}} (1 + d^* e^{-i \vec{k}_1 \cdot \vec{r}_{i_2}}) \cdot e^{-i \vec{k}_1 \cdot \vec{r}_{i_2}} (1 + d^* e^{-i \vec{k}_1 \cdot \vec{r}_{i_2}}) \cdot e^{-i \vec{k}_1 \cdot \vec{r}_{i_2}} (1 + d^* e^{-i \vec{k}_1 \cdot \vec{r}_{i_2}}) \cdot e^{-i \vec{k}_1 \cdot \vec{r}_{i_2}} (1 + d^* e^{-i \vec{k}_1 \cdot \vec{r}_{i_2}}) \cdot e^{-i \vec{k}_1 \cdot \vec{r}_{i_2}} (1 + d^* e^{-i \vec{k}_1 \cdot \vec{r}_{i_2}}) \cdot e^{-i \vec{k}_1 \cdot \vec{r}_{i_2}} (1 + d^* e^{-i \vec{k}_1 \cdot \vec{r}_{i_2}}) \cdot e^{-i \vec{k}_1 \cdot \vec{r}_{i_2}} (1 + d^* e^{-i \vec{k}_1 \cdot \vec{r}_{i_2}}) \cdot e^{-i \vec{k}_1 \cdot \vec{r}_{i_2}} (1 + d^* e^{-i \vec{k}_1 \cdot \vec{r}_{i_2}}) \cdot e^{-i \vec{k}_1 \cdot \vec{r}_{i_2}} (1 + d^* e^{-i \vec{k}_1 \cdot \vec{r}_{i_2}}) \cdot e^{-i \vec{k}_1 \cdot \vec{r}_{i_2}} (1 + d^* e^{-i \vec{k}_1 \cdot \vec{r}_{i_2}}) \cdot e^{-i \vec{k}_1 \cdot \vec{r}_{i_2}} (1 + d^* e^{-i \vec{k}_1 \cdot \vec{r}_{i_2}}) \cdot e^{-i \vec{k}_1 \cdot \vec{r}_{i_2}} (1 + d^* e^{-i \vec{k}_1 \cdot \vec{r}_{i_2}}) \cdot e^{-i \vec{k}_1 \cdot \vec{r}_{i_2}} (1 + d^* e^{-i \vec{k}_1 \cdot \vec{r}_{i_2}}) \cdot e^{-i \vec{k}_1 \cdot \vec{r}_{i_2}} (1 + d^* e^{-i \vec{k}_1 \cdot \vec{r}_{i_2}}) \cdot e^{-i \vec{k}_1 \cdot \vec{r}_{i_2}} (1 + d^* e^{-i \vec{k}_1 \cdot \vec{r}_{i_2}}) \cdot e^{-i \vec{k}_1 \cdot \vec{r}_{i_2}} (1 + d^* e^{-i \vec{k}_1 \cdot \vec{r}_{i_2}}) \cdot e^{-i \vec{k}_1 \cdot \vec{r}_{i_2}} (1 + d^* e^{-i \vec{k}_1 \cdot \vec{r}_{i_2}})$$

$$\begin{aligned} & = (C)^{4} \int_{C_{1}^{2}} \int_{C_{2}^{2}} \int_{C_{1}^{2}} \int_{C_{1}^{2}} \int_{C_{2}^{2}} \int_{C_{1}^{2}} \int_{C_{1}^{2}} \int_{C_{2}^{2}} \int_{C_{1}^{2}} \int_{C_{1}^{2}}$$

 $r = r_1 - r_2 \qquad ; \quad R = \frac{1}{2} (P_1 + P_2)$

se encuentra que:

y ya que 77,2% se tiene cué:

$$\int_{K'_{1}} K + nq = 0$$
 para $n \neq 0$: $I = (--) \int_{K'_{1}} K$

La energía total del sistema se obtiene sustituyendo (II.1) en la ecuación (I.9) y de esta manera encontramos que:

$$E = 2 \sum_{\overline{K_{i}}} \frac{k^{2}K_{i}^{2}}{2m} + \frac{2\beta}{(1+\beta)} \sum_{\overline{K_{i}}} (2\overline{K_{i}}\overline{q} + \overline{q}^{2}) \frac{k^{2}}{2m}$$

$$+ \sum_{\overline{K_{i}}} \left[\int_{0}^{\infty} V(0) + \frac{\beta}{(1+\beta)^{2}} \int_{0}^{\infty} (V(-\overline{q}) + V(q)) \right]$$

$$- \sum_{\overline{K_{i}}} \left\{ \frac{1}{V} V(\overline{K_{i}} - \overline{K_{2}}) - \frac{1}{V} \frac{\beta}{(1+\beta)} \left[V(\overline{K_{i}} - \overline{K_{2}} + \overline{q}) \right] + V(\overline{K_{i}} - \overline{K_{2}} - \overline{q}) \right\} - \frac{1}{2} N \int_{0}^{\infty} V(0)$$

$$+ V(\overline{K_{i}} - \overline{K_{2}} - \overline{q}) = \left\{ \frac{1}{V} \left[\frac{1}{V} \right] + \frac{1}{V} \left$$

es la transformade de fonrier de $v(\bar{r})$.

Despued de un largo desarrollo, y tomando en cuenta que:

$$N = \sum_{K(oc)} (1) = V\left(\frac{Ko^3}{3\pi^2}\right)$$
 (tomando una esfera de fermi)

$$Ko = (3\pi^2 f_o)^{1/3}$$
 además: $\frac{4}{3}\pi r_o^3 = \frac{1}{f_o}$

$$T_{S} = \frac{T_{O}}{a_{O}} \quad \text{donde} \quad a_{O} = \frac{h^{2}}{me^{2}} \quad \text{(radio de Bohr)}$$

$$K_{O} = \left(\frac{9\pi}{4}\right)^{1/3} \frac{1}{T_{O}} = \left(\frac{9\pi}{4}\right)^{1/3} \frac{1}{T_{S}} \cdot \frac{me^{2}}{h^{2}}$$

se encuentra que:

$$\frac{E_{1c}}{N} = \frac{E_{0p}}{N} + \frac{\beta}{(1+\beta)} \frac{Q^{2}_{14.72} + 0.407}{Ts^{2}} \frac{\beta}{Ts} \frac{1}{(1+\beta)^{2} Q^{2}}$$

$$-\frac{\beta}{(1+\beta)^{2}} \left(\frac{1.92}{Ts}\right) \left[\left(\frac{11}{10} + \frac{Q^{2}}{5}\right) + \left(\frac{1}{5Q} - Q\right) \frac{h}{Q-1} \right]$$

$$+ Q^{2} \left(1 - \frac{Q^{2}}{5}\right) \frac{h}{Q^{2}-1}.$$

APPRIDICE TIT

Se revisarán algunos de los pasos para el cálculo de la en nergía en la aproximación de Hartree-Fock para la familia I.

$$\Phi_{K}^{(n)}(\bar{\tau}) = \varphi_{k_{x}}^{(n)}(x) \varphi_{k_{x}}^{(n)}(y) \varphi_{k_{x}}^{(n)}(z)$$

$$\varphi_{k_{x}}^{(n)}(x) = C_{x} e^{ikx} (1 + 5\sigma \times e^{i\beta x})^{n}$$

$$\chi = 1 \times 1 e^{i\sigma}$$

$$C_{x}^{-2} = L \sum_{k=0}^{n} {n \choose k}^{2} \chi^{2k}$$
1) La energía cinética:

 $t = \sum_{k} \langle k|T|k \rangle$

se puede demostrar, dado que $\phi_{(r)}^{(n)}$ separable en (x,y,z) que:

$$t = 3L^2 \sum_{K_x(oc)} \langle K_x | T_x | K_x \rangle$$

$$\langle K_{x} | T_{x} | K_{x} \rangle = \frac{h^{2} C_{x}^{2}}{2m} \sum_{\ell \neq 0} {m \choose \ell} {n \choose \ell} d^{\ell + \ell} (K_{x} + \ell^{\ell} q)^{2} 5_{\sigma}^{\ell + \ell}.$$

$$= \frac{h^{2} C_{x}^{2}}{2m} \sum_{\ell} {m \choose \ell} d^{\ell} (K_{x} + \ell^{\ell} q)^{2} d^{\ell} (K_{x} + \ell^{\ell} q)^{2}$$

por lo tanto:

$$\sum_{K(04)} \langle K|T|K \rangle = \frac{3\hbar^2 c^2 V}{2m} \sum_{K(04)} \sum_{\ell} \left(\binom{n}{\ell} \right)^2 d^{2\ell} \left(K_x + \ell k \right)^2$$

sumando sobre todos los estados ocupados se tiene que:

$$t = 1 + 12 Q^{2} \frac{\sum_{\ell} {\binom{m}{\ell}}^{2} \sqrt{2^{\ell} \ell^{2}}}{\sum_{\ell} {\binom{m}{\ell}}^{2} \sqrt{2^{\ell} \ell^{2}}}; Q = \frac{2}{2K_{o}}$$

2) El término directo:

Nota:

$$\langle K_1 K_2 | \mathcal{V}_{12} | K_1 K_2 \rangle = \int_{\sigma_1, \sigma_1} \int_{\sigma_2, \sigma_2} \langle \overline{K_1} \overline{K_2} | \mathcal{V}_{12} | \overline{K_1} \overline{K_2} \rangle$$

For otra parte $\langle \overline{K_1} | \overline{K_2} | \overline{V_{12}} | \overline{K_1} \overline{K_2} \rangle = v_0 \int d\overline{r_1} / \varphi_{K_1}(\overline{r_1}) / \varphi_{K_2}(\overline{r_2}) / 2$

perd:

por lo tento, solo se tiene que coloular:

$$\int dx | \mathcal{G}_{kx}(x) |^{2} | \mathcal{G}_{ky}(x) |^{2} | \mathcal{G}_{x}(1+S_{0}, de^{-i(gx+o)})^{n}$$

$$\int dx | \mathcal{G}_{kx}(x) |^{2} | \mathcal{G}_{ky}(x) |^{2} | \mathcal{G}_{x}(1+S_{0}, de^{-i(gx+o)})^{n}$$

$$(1+S_{0}, de^{-i(gx+o)})^{n} (1+S_{0}de^{-i(gx+o)})^{n} (1+S_{0}de^{-i(gx+o)})^{n}$$

$$= (1+S_{0}, de^{-i(gx+o)})^{n} (1+S_{0}de^{-i(gx+o)})^{n}$$

$$= (1+S_{0}, de^{-i(gx+o)})^{n}$$

$$= (1+S_{0}, de^{-i(gx+o)})^{$$

sustituyendo en \mathcal{D} , utilizando una regla de suma que se puede encontrar en (8) la cual está dada por:

$$\sum_{\substack{K_1 K_2 \cdots K_n \\ K_1 K_2 \cdots K_n}} {\binom{z_1}{K_1} \binom{z_2}{K_2} \cdots \binom{z_n}{K_n}} \frac{\prod_{\substack{K_1 + K_2 + \cdots + K_n \\ K}}}{\prod_{\substack{K K_2 \cdots K_n \\ K}}} \frac{\sum_{\substack{K_1 K_2 \cdots K_n \\ K}} {\binom{z_1 + z_2 + \cdots + z_n}{K}} \prod_{\substack{K K_1 K_2 \cdots K_n \\ K}} \frac{\sum_{\substack{K_1 K_2 \cdots K_n \\ K}}}{\binom{z_1 + z_2 + \cdots + z_n}{K}} \frac{\prod_{\substack{K_1 K_2 \cdots K_n \\ K}}}{\binom{z_1 + z_2 + \cdots + z_n}{K}} \frac{\prod_{\substack{K_1 K_2 \cdots K_n \\ K}}}{\binom{z_1 + z_2 + \cdots + z_n}{K}} \frac{\prod_{\substack{K_1 K_2 \cdots K_n \\ K}}}{\binom{z_1 + z_2 + \cdots + z_n}{K}} \frac{\prod_{\substack{K_1 K_2 \cdots K_n \\ K}}}{\binom{z_1 + z_2 + \cdots + z_n}{K}} \frac{\prod_{\substack{K_1 K_2 \cdots K_n \\ K}}}{\binom{z_1 + z_2 + \cdots + z_n}{K}} \frac{\prod_{\substack{K_1 K_2 \cdots K_n \\ K}}}{\binom{z_1 + z_2 + \cdots + z_n}{K}} \frac{\prod_{\substack{K_1 K_2 \cdots K_n \\ K}}}{\binom{z_1 + z_2 + \cdots + z_n}{K}} \frac{\prod_{\substack{K_1 K_2 \cdots K_n \\ K}}}{\binom{z_1 + z_2 + \cdots + z_n}{K}} \frac{\prod_{\substack{K_1 K_2 \cdots K_n \\ K}}}{\binom{z_1 + z_2 + \cdots + z_n}{K}} \frac{\prod_{\substack{K_1 K_2 \cdots K_n \\ K}}}{\binom{z_1 + z_2 + \cdots + z_n}{K}} \frac{\prod_{\substack{K_1 K_2 \cdots K_n \\ K}}}{\binom{z_1 + z_2 + \cdots + z_n}{K}} \frac{\prod_{\substack{K_1 K_2 \cdots K_n \\ K}}}{\binom{z_1 + z_2 + \cdots + z_n}{K}} \frac{\prod_{\substack{K_1 K_2 \cdots K_n \\ K}}}{\binom{z_1 + z_2 + \cdots + z_n}{K}} \frac{\prod_{\substack{K_1 K_2 \cdots K_n \\ K}}}{\binom{z_1 + z_2 + \cdots + z_n}{K}} \frac{\prod_{\substack{K_1 K_2 \cdots K_n \\ K}}}{\binom{z_1 + z_2 + \cdots + z_n}{K}}} \frac{\prod_{\substack{K_1 K_2 \cdots K_n \\ K}}}{\binom{z_1 + z_2 + \cdots + z_n}{K}} \frac{\prod_{\substack{K_1 K_2 \cdots K_n \\ K}}}}{\binom{z_1 + z_2 + \cdots + z_n}{K}}} \frac{\prod_{\substack{K_1 K_2 \cdots K_n \\ K}}}}{\binom{z_1 + z_2 + \cdots + z_n}{K}}} \frac{\prod_{\substack{K_1 K_2 \cdots K_n \\ K}}}{\binom{z_1 + z_2 + \cdots + z_n}{K}}} \frac{\prod_{\substack{K_1 K_2 \cdots K_n \\ K}}}{\binom{z_1 + z_2 + \cdots + z_n}{K}}} \frac{\prod_{\substack{K_1 K_2 \cdots K_n \\ K}}}{\binom{z_1 + z_2 + \cdots + z_n}{K}}} \frac{\prod_{\substack{K_1 K_2 \cdots K_n \\ K}}}{\binom{z_1 + z_2 + \cdots + z_n}{K}}} \frac{\prod_{\substack{K_1 K_2 \cdots K_n \\ K}}}{\binom{z_1 + z_2 + \cdots + z_n}{K}}} \frac{\prod_{\substack{K_1 K_2 \cdots K_n \\ K}}}{\binom{z_1 + z_2 + \cdots + z_n}{K}}} \frac{\prod_{\substack{K_1 K_2 \cdots K_n \\ K}}}{\binom{z_1 + z_2 + \cdots + z_n}{K}}}$$

y que se va a seguir utilizando en todos los siguientes cál culos. y tomando en cuenta cue:

$$\sum_{G_1G_2} S_{G_1}^{S_1+S_2+S_3} S_{\sigma_2}^{l_1+l_2+l_3}$$

$$= [1 + (-1)^{5,+5_2+5_3}][1+(-1)^{l_1+l_2+l_3}]$$

ademas:

$$\sum_{K_1 K_2(oc)} (1) = V^2 \left(\frac{\rho_o}{2}\right)^2 = V^2 \left(\frac{K_o}{\pi}\right)^6$$

multiplic ndo el término directo por $\frac{2m}{h^2 k_0^2 N}$ se encuentra oue:

$$\frac{2m}{t^2 K_0^2 N} \left[\frac{1}{2} \sum_{k(00)} \langle K, K_2 | v_{12} | K, K_2 \rangle \right]$$

$$=\frac{\lambda}{3}\left[\left\{\left(\frac{m}{s,e}\left(\frac{m}{s}\right)\left(\frac{m}{s}\right)\right\}\right]$$

$$\cdot (1+d^{2})^{2m-(s+e)} (2d)^{s+e} I_{s+e}^{3} + \left\{ \int_{s_{1}e}^{m} {m \choose s} {m \choose e} \right\}$$

$$\cdot (1+d^{2})^{2m-(s+e)} (2d)^{s+e} I_{s+e}^{3} + \left\{ \int_{s_{1}e}^{m} {m \choose s} {m \choose e} \right\}$$

$$\cdot (1+d^{2})^{2m-(s+e)} (2d)^{s+e} I_{s+e}^{3} + \left\{ \int_{s_{1}e}^{m} {m \choose s} {m \choose e} \right\}$$

3) El término de intercambio:

$$I = \pm \sum_{k_1 k_2 (oc)} \langle k_1 k_2 | \mathcal{V}_{12} | k_2 k_1 \rangle$$

nota:

$$\langle K_{1}K_{2}|V_{12}|K_{2}K_{1}\rangle = \int_{G_{1}G_{2}}\langle \overline{K}_{1}\overline{K}_{2}|V_{12}|\overline{K}_{2}\overline{K}_{1}\rangle$$

nor lo sue: 50, = 50-

For otra narte:
$$\langle \overline{K_1} \, \overline{K_2} \, | \, 2\overline{I_2} \, | \, \overline{K_2} \, \overline{K_1} \rangle = 2\overline{I_0} \, \left\{ \frac{1}{2} \left| \frac{1}{2} \left(\frac{1}{2} \right) \right|^2 \right| \left(\frac{1}{2} \left| \frac{1}{2} \left(\frac{1}{2} \right) \right|^2 \right\} \\
= 20 \text{ MO:} \quad \left| \frac{2}{4} \left| \frac{1}{4} \left(\frac{1}{2} \right) \right|^2 + \left| \frac{1}{4} \left(\frac{1}{2} \right) \right|^2 + \left| \frac{1}{4} \left(\frac{1}{2} \right) \right|^2 \\
= \left| \frac{1}{4} \left(\frac{1}{2} \right) \right|^2 + \left| \frac{1}{4} \left(\frac{1$$

se colcula:

$$\int dx \left| f_{k_{x}}(x) \right|^{2} \left| f_{k_{x_{2}}}(x) \right|^{2} = \left(x^{9} \right) \left(\frac{1}{4} + S_{0} d e^{-i(gx+o)} \right)^{2n}$$

$$\left(1 + S_{0} d e^{-i(gx+o)} \right)^{2n} = \left(\frac{9}{4} \sum_{s_{y}} \frac{2n}{s_{y}} \left(\frac{2n}{s} \right) \left(\frac{2n}{s} \right) S_{0}^{(e+s)}$$

que si se escoge 0=0;

$$= \left(x \sum_{\ell=0}^{4} {2n \choose \ell}^2 S_{\ell}^{2\ell} \right)^{2\ell} \perp$$

sustituyendo en I para x,y,z , se tiene que:

$$\frac{2m}{k^{2}k_{0}^{2}N}\left(\frac{1}{2}\sum_{K_{1}K_{2}(oc)}\langle K_{1}K_{2}|V_{12}|K_{2}K_{1}\rangle\right)=\frac{1}{3}\left[\frac{\sum_{k=0}^{2n}\binom{2m}{k}^{2}}{\sum_{k=0}^{2n}\binom{n}{k}^{2}}\frac{\int_{2k}^{2k}}{\sum_{k=0}^{2n}\binom{n}{k}^{2}}\frac{\int_{2k}^{2k}}{\sum_{k=0}^{2n}\binom{n}{k}^{2}}\frac{\int_{2k}^{2k}}{\sum_{k=0}^{2n}\binom{n}{k}^{2}}\frac{\int_{2k}^{2k}}{\sum_{k=0}^{2n}\binom{n}{k}^{2}}\frac{\int_{2k}^{2k}}{\sum_{k=0}^{2n}\binom{n}{k}^{2}}\frac{\int_{2k}^{2k}}{\sum_{k=0}^{2n}\binom{n}{k}^{2}}\frac{\int_{2k}^{2n}\binom{n}{k}}{\sum_{k=0}^{2n}\binom{n}{k}^{2}}\frac{\int_{2k}^{2n}\binom{n}{k}}{\sum_{k=0}^{2n}\binom{n}{k}}\frac{\int_{2k}^{2n}\binom{n}{k}}{\sum_{k=0}^{2n}\binom{n}{k}}\frac{\int_{2k}^{2n}\binom{n}{k}}{\sum_{k=0}^{2n}\binom{n}{k}}\frac{\int_{2k}^{2n}\binom{n}{k}}{\sum_{k=0}^{2n}\binom{n}{k}}\frac{\int_{2k}^{2n}\binom{n}{k}}{\sum_{k=0}^{2n}\binom{n}{k}}\frac{\int_{2k}^{2n}\binom{n}{k}}{\sum_{k=0}^{2n}\binom{n}{k}}\frac{\int_{2k}^{2n}\binom{n}{k}}{\sum_{k=0}^{2n}\binom{n}{k}}\frac{\int_{2k}^{2n}\binom{n}{k}}{\sum_{k=0}^{2n}\binom{n}{k}}\frac{\int_{2k}^{2n}\binom{n}{k}}{\sum_{k=0}^{2n}\binom{n}{k}}\frac{\int_{2k}^{2n}\binom{n}{k}}\frac{\int_{2k}^{2n}\binom{n}{k}}{\sum_{k=0}^{2n}\binom{n}{k}}\frac{\int_{2k}^{2n}\binom{n}{k}}\frac{\int_{2k}^{2n}\binom{n}{k}}{\sum_{k=0}^{2n}\binom{n}{k}}\frac{\int_{2k}^{2n}\binom{n}{k}}\frac{\int$$

$$\lambda = \frac{3m20 \, \text{Ke}}{k^2 \pi^3}$$

APENDICE IV

e revisarán algunos de los pasos para el cálculo de la -energía en la aproximación de Hartree-Fock para la familla I.

$$\oint_{K}^{(n)} (\bar{\tau}) = \oint_{K_{X}}^{(n)} (x) \oint_{K_{Z}}^{(n)} (x) \oint_{K_{Z}}^{(n)} (x)$$

$$\oint_{K}^{(n)} (x) = \underbrace{\left(\begin{matrix} (n) \\ K \end{matrix}\right)}_{K}^{(n)} (x) \underbrace{\left(\begin{matrix} (n) \\ K \end{matrix}\right)}_{K}^{(n)} (x) = \underbrace{\left(\begin{matrix} (n) \\ K \end{matrix}\right)}_{K}^{(n)} \underbrace{\left(\begin{matrix} (n) \\ K \end{matrix}\right)}_{K}^{(n)} (x) = \underbrace{\left(\begin{matrix} (n) \\ K \end{matrix}\right)}_{K}^{(n)} \underbrace{\left(\begin{matrix} (n) \\ K \end{matrix}\right)}_{K}^{(n)} (x) = \underbrace{\left(\begin{matrix} (n) \\ K \end{matrix}\right)}_{K}^{(n)} \underbrace{\left(\begin{matrix} (n) \\ K \end{matrix}\right)}_{K}^{(n)} (x) = \underbrace{\left(\begin{matrix} (n) \\ K \end{matrix}\right)}_{K}^{(n)} \underbrace{\left(\begin{matrix} (n) \\ K \end{matrix}\right)}_{K}^{(n)} (x) = \underbrace{\left(\begin{matrix} (n) \\ K \end{matrix}\right)}_{K}^{(n)} \underbrace{\left(\begin{matrix} (n) \\ K \end{matrix}\right)}_{K}^{(n)} (x) = \underbrace{\left(\begin{matrix} (n) \\ K \end{matrix}\right)}_{K}^{(n)} \underbrace{\left(\begin{matrix} (n) \\ K \end{matrix}\right)}_{K}^{(n)} (x) = \underbrace{\left(\begin{matrix} (n) \\ K \end{matrix}\right)}_{K}^{(n)} \underbrace{\left(\begin{matrix} (n) \\ K \end{matrix}\right)}_{K}^{(n)} (x) = \underbrace{\left(\begin{matrix} (n) \\ K \end{matrix}\right)}_{K}^{(n)} \underbrace{\left(\begin{matrix} (n) \\ K \end{matrix}\right)}_{K}^{(n)} (x) = \underbrace{\left(\begin{matrix} (n) \\ K \end{matrix}\right)}_{K}^{(n)} \underbrace{\left(\begin{matrix} (n) \\ K \end{matrix}\right)}_{K}^{(n)} (x) = \underbrace{\left(\begin{matrix} (n) \\ K \end{matrix}\right)}_{K}^{(n)} \underbrace{\left(\begin{matrix} (n) \\ K \end{matrix}\right)}_{K}^{(n)} (x) = \underbrace{\left(\begin{matrix} (n) \\ K \end{matrix}\right)}_{K}^{(n)} \underbrace{\left(\begin{matrix} (n) \\ K \end{matrix}\right)}_{K}^{(n)} (x) = \underbrace{\left(\begin{matrix} (n) \\ K \end{matrix}\right)}_{K}^{(n)} \underbrace{\left(\begin{matrix} (n) \\ K \end{matrix}\right)}_{K}^{(n)} (x) = \underbrace{\left(\begin{matrix} (n) \\ K \end{matrix}\right)}_{K}^{(n)} \underbrace{\left(\begin{matrix} (n) \\ K \end{matrix}\right)}_{K}^{(n)} (x) = \underbrace{\left(\begin{matrix} (n) \\ K \end{matrix}\right)}_{K}^{(n)} \underbrace{\left(\begin{matrix} (n) \\ K \end{matrix}\right)}_{K}^{(n)} (x) = \underbrace{\left(\begin{matrix} (n) \\ K \end{matrix}\right)}_{K}^{(n)} (x$$

mra alfa real:

$$C_{\kappa}^{(n)-2} = L \sum_{s=0}^{n} {\binom{2n}{2s}} \mathcal{L}^{2s} I_{2s}$$

1) La energia cinética:

$$t = \sum_{\text{K(oc)}} \langle \text{K}|\text{T}|\text{K} \rangle = 3L^{2} \sum_{\text{K(oc)}} \langle \text{K}_{x}|\text{T}_{x}|\text{K}_{x} \rangle$$

$$t_{x} = \langle \text{K}_{x}|\text{T}_{x}|\text{K}_{x} \rangle = \int_{4/2}^{4/2} \langle \text{K}_{x}|\text{T}_{x}|\text{K}_{x} \rangle$$

$$\text{integrando por partea se tiene}$$

$$-t_{x} = \int_{-\frac{1}{2}}^{\frac{1}{2}} \left\{ -i \left(\left(\frac{x}{k} \right) - n S_{\sigma} \right) \right\} \frac{1}{2} \left\{ -i \left(\left(\frac{x}{k} \right) \right) - n S_{\sigma} \right\} \left(\frac{x}{k} \right) \right\} \frac{1}{2} \left\{ -i \left(\frac{x}{k} \right) \right\} \left(\frac{x}{k} \right) + n S_{\sigma} \right\} \frac{1}{2} \left\{ -i \left(\frac{x}{k} \right) \right\} \left(\frac{x}{k} \right) + n S_{\sigma} \right\} \frac{1}{2} \left\{ -i \left(\frac{x}{k} \right) \right\} \left(\frac{x}{k} \right) + n S_{\sigma} \right\} \frac{1}{2} \left\{ -i \left(\frac{x}{k} \right) \right\} \left(\frac{x}{k} \right) + n S_{\sigma} \right\} \frac{1}{2} \left\{ -i \left(\frac{x}{k} \right) \right\} \left(\frac{x}{k} \right) + n S_{\sigma} \right\} \frac{1}{2} \left\{ -i \left(\frac{x}{k} \right) \right\} \left(\frac{x}{k} \right) + n S_{\sigma} \right\} \frac{1}{2} \left\{ -i \left(\frac{x}{k} \right) \right\} \left(\frac{x}{k} \right) + n S_{\sigma} \left(\frac{x}{k} \right) + n$$

$$\int_{1}^{\infty} \frac{1}{K_{x}} \left(\frac{f_{x}^{(n)}}{f_{x}^{(n)}} - n \cdot S_{r} \cdot d \cdot q \cdot \frac{f_{x}^{(n)}}{f_{x}^{(n-1)}} \right) \left(\frac{f_{x}^{(n-1)}}{f_{x}^{(n-1)}} \right) dx$$

$$- t_{x} = \int_{-\frac{1}{2}}^{\frac{1}{2}} \frac{1}{K_{x}} \left(\frac{f_{x}^{(n)}}{f_{x}^{(n)}} \right)^{2} + n^{2} \left[\frac{1}{K_{x}^{(n)}} \right]^{2} \frac{1}{K_{x}^{(n-1)}} \int_{-\frac{1}{2}}^{\frac{1}{2}} \frac{f_{x}^{(n)}}{f_{x}^{(n-1)}} \frac{1}{K_{x}^{(n)}} \frac{1}{K$$

desarrovando y utilizando el hecho de que:

$$I_{i+i} - I_{i+i+2} = \frac{I_{i+i}}{(i+i+2)}$$

$$t_{x}=-K^{2}\frac{n^{2}|d|^{2}q^{2}\sum_{5,l=0}^{m-1}\binom{m-1}{5}\binom{m-1}{l}d^{2}\int_{5+l}^{5+l}\binom{s+l+2}{l}}{\sum\limits_{s=0}^{m}\binom{2m}{2s}I_{2s}}$$

utilizando la regla de suma se

utilizando la regio de suma se encuentra cue:
$$t_{x} = -h^{2} - n^{2}\beta q^{2} \sum_{s=0}^{m-1} {2m-s \choose 2s} I_{2s} \lambda^{2s}$$

$$= \frac{1}{2s} \lambda^{2s} \lambda^{2s} \lambda^{2s}$$

$$= \frac{1}{2s} \lambda^{2s} \lambda^{2s} \lambda^{2s}$$

de aqui, sustituyendo en t y sumando sobre tedes los estados ocupados se encuentra que la energía cinética está dada mor:

$$t = 1 + 12 Q^{2} n^{2} |\mathcal{A}|^{2} \sum_{s=0}^{m-1} {\binom{2m-2}{2s}} \overline{1}_{2s} \mathcal{A}_{2s+2}^{2s}$$

$$= \sum_{s=0}^{m} {\binom{2n}{2s}} \overline{1}_{2s} \mathcal{A}_{2s}^{2s}$$

El término directo:

$$D = \frac{1}{2} \sum_{K_1 K_2 (OO)} \langle K_1 K_2 | \mathcal{V}_{12} | K_1 K_2 \rangle = \frac{1}{2} \sum_{K_1 K_2 (OO)} \left(\frac{1}{4} r_1 / \frac{2}{4} \left(\frac{2}{4} r_1 \right) / \frac{2}{4} \right)$$

por 10 rue solo tenemos rue integrar:
$$\left(\frac{1}{4} \times \frac{1}{4} \right) \left(\frac{1}{4} \times \frac{1}{4}$$

$$= \left(\begin{array}{c} S_{i}l=0 \\ \\ \end{array} \right) \left(\begin{array}{c} S_{i}l=0 \\ \\ \end{array} \right) \left(\begin{array}{c} 2m \\ S_{i} \end{array} \right) \left(\begin{array}{c} S_{i}l \\ S_{i}l \end{array} \right) \left(\begin{array}{c} S_{i}l \\ S_{i}l$$

sustituyendo en D para x,y,z, y haciendo haciendo la ma sobre todos los estados ocupados:

$$\frac{2m}{k_{1}^{2}K_{0}^{2}N^{2}} = \frac{m}{2k_{1}^{2}K_{0}^{2}N^{2}} \left[\sum_{s=0}^{2n} {\binom{2n}{s}} {\binom{2n}{s}} {\binom{2n}{s}} \right]^{2}$$

$$d^{l+5} I_{s+a}^{3} + \left[\sum_{s=0}^{2n} {2n \choose s} {2n \choose l} d^{l+5} I_{s+a}^{3}\right] = \frac{1}{3} \left\{ \left(\sum_{s=0}^{2n} {2n \choose s} {2n \choose l} d^{n} \right) d^{l+5} I_{s+a}^{3} \right\} = \frac{1}{3} \left\{ \left(\sum_{s=0}^{2n} {2n \choose s} {2n \choose l} d^{n} \right) d^{n} d^{n$$

sustituyendo en T para x, y, z, y sumando robre todos los estados ocupados se tiene que la energía del término directo está dada por:

$$\frac{2m}{k^{2}k^{2}N} \frac{1}{2} \sum_{K_{1}K_{2}(09)} \langle K_{1}K_{2}|2J_{12}|K_{2}K_{1} \rangle = \frac{m^{20}}{k^{2}H^{3}} \left\{ \sum_{P=0}^{2n} {\binom{4n}{2P}} d^{2P} I_{2P} \right\}^{3}$$

$$= \frac{m^{20}}{k^{2}H^{3}} \left\{ \sum_{P=0}^{2n} {\binom{2n}{2P}} d^{2P} I_{2P} \right\}^{2}$$

REFERENCIAS:

- (1) E.P. Wigner, Trans. Faraday Soc. 34 (1938) 678.
- (2) N.H.March, W.H.Loung and S. Sampenthar. The Many Body Problem in Quantum Mechanics. London Cambridge 1967 (Cambridge Monographs Physics).
- (3) Raimes S. Waves Mechanics of Electrons in Metals. 1961.
 North-Holland.
- (4) E.P. Wigner. Physics Rev. 46,1002 (1934); A.W. Overhauser Phys. Rev. 167, 691 (1968).
- (5) Hill Terrell . Statistical Mechanics. New York Mc.
- (6) A.W. Overhauser Phys. Rev. Leters 4, 415 (1960).
- (7) M. de Llano, A. Plastino Phys. Rev. A 13 1633 (1976)
- (8) V.C.Aguilera-Navarro, M de Llano, C.Peltier, A.Plastino. (por publicarse).